

Salaš, Milan

Návrh numerické deskripce neolitické kamenné broušené industrie

Sborník prací Filozofické fakulty brněnské univerzity. E, Řada archeologicko-klasická. 1984, vol. 33, iss. E29, pp. [67]-107

Stable URL (handle): <https://hdl.handle.net/11222.digilib/108958>

Access Date: 28. 11. 2024

Version: 20220831

Terms of use: Digital Library of the Faculty of Arts, Masaryk University provides access to digitized documents strictly for personal use, unless otherwise specified.

MILAN SALAŠ

NÁVRH NUMERICKÉ DESKRIPTIVE NEOLITICKÉ KAMENNÉ BROUŠENÉ INDUSTRIE

Jedním z výrazných trendů současné archeologie je snaha o kvantitativní analýzu rozsáhlých souborů nálezového fondu aplikací matematických a statistických metod. Nezbytným předpokladem tohoto prostředku explikace je vytvoření formalizovaných, numerických, alfabetic-
kých nebo numericko-alfabetických deskripčních systémů, umožňujících strojně výpočetní vyhodnocování a trvalou fixaci veškerých informací v databankách.¹

Numerický kód neolitické broušené industrie byl původně vypracován jen pro potřeby diplomové práce² a nyní jej po drobnějších úpravách předkládám k diskusi. Je sestaven podle zpracovaného systému numerické deskriptice moravské malované keramiky (MMK),³ jemuž je vědomě poplatný a adekvátně se skládá s ohledem na sledované aspekty z několika částí s různým počtem sloupců.

PŘEHLED SLOUPCŮ

A. Část obecná

25 = kulturní příslušnost⁴

B. Část typologická

26—28 = stupeň dochovalosti jedince

29—30 = typ a varianta třídy broušené industrie

31 = globální tvar nárysu

32—33 = tvar boků v nárysu

34—35 = tvar týlu a rozhraní v nárysu

36—38 = tvar břitu a rozhraní v nárysu (bokorysu variant 24, 31—35)

39—41 = tvar příčného profilu

42 = tvar bazálních hran příčného profilu

1 Např. P. *Urbańczyk*, *Metody komputerowe w archeologii*, ArchPolSKI XXIV, 1980, 245—315 s další lit.

2 M. *Salaš*, *Kamenná broušená industrie mladšího neolitu*, rkp. diplomové práce, Brno 1981, 8—56.

3 V. *Podborský*—E. *Kazdová*—P. *Košťurík*—Z. *Weber*, *Numerický kód moravské malované keramiky*, Brno 1977.

- 43 = tvar dorsálních hran příčného profilu
- 44 = tvar laterální hrany (laterálních hran) příčného profilu
- 45 = tvar terminální hrany příčného profilu
- 46—47 = tvar hrany ostří v čelném průmětu
- 48—49 = tvar bokorysu
- 50—51 = tvar týlu a rozhraní v bokorysu
- 52 = tvar břítu v bokorysu (nárysu variant 24, 31—35)
- 53 = tvar povrtu

C. Část metrická

- 54—56 = absolutní délka (ad)
- 57—59 = absolutní šířka (aš)
- 60—61 = absolutní výška (av)
- 62—63 = průměr primárního povrtu
- 64—65 = průměr sekundárního povrtu
- 66—67 = větší průměr povrtu (d_1); menší průměr základny vývrtku
- 68—69 = menší průměr povrtu (d_2); větší průměr základny vývrtku
- 70—71 = nejmenší průměr bikónického povrtu (d_3)
- 72—73 = vzdálenost d_1 — d_3
- 74—75 = úhel masívnosti ostří
- 76—77 = úhel zdvíhu ostří
- 78—79 = vlastní úhel ostří
- 80—81 = úhel úklonu ostří
- 82—83 = úhel sbíhavosti boků
- 84—85 = úhel úklonu osy povrtu
- 86—88 = poloha povrtu (pp)
- 89—90 = šířka oblouku ostří (šo)
- 91—92 = výška oblouku ostří (vo)
- 93—96 = váha jedince

D. Část technologická

- 97— 98 = stav výroby jedince z funkčního aspektu
- 99—100 = úprava povrchu vyjma týlové plochy
 - 101 = úprava týlové plochy
 - 102 = stupeň dokončení primárního povrtu
 - 103 = stupeň dokončení sekundárního povrtu
 - 104 = tvar okrajů funkčního povrtu (vývrtku)
 - 105 = stopy po vrtání
 - 106 = směr a druh vrtání
 - 107 = stopy po řezání
 - 108 = tvar řezu v příčném profilu
- 109—111 = délka řezu
- 112—113 = hloubka řezu

E. Část funkční

- 114 = způsob uklonění ostří
- 115 = uklonění osy funkčního povrtu
- 116 = zachování hrany ostří
- 117 = pracovní stopy na ostří
- 118 = jiné pracovní stopy
- 119 = stopy po upevnění
- 120 = indicie sekundární funkce

F. Část petrografická

- 121 = barva horniny
- 122—123 = textura dle rozmístění v prostoru
- 124 = textura dle vyplnění prostoru
- 125 = orientace foliačních ploch
- 126—127 = hornina

Sloupec 25 (kulturní příslušnost)
kultura s lineární keramikou

kódové číslo

1

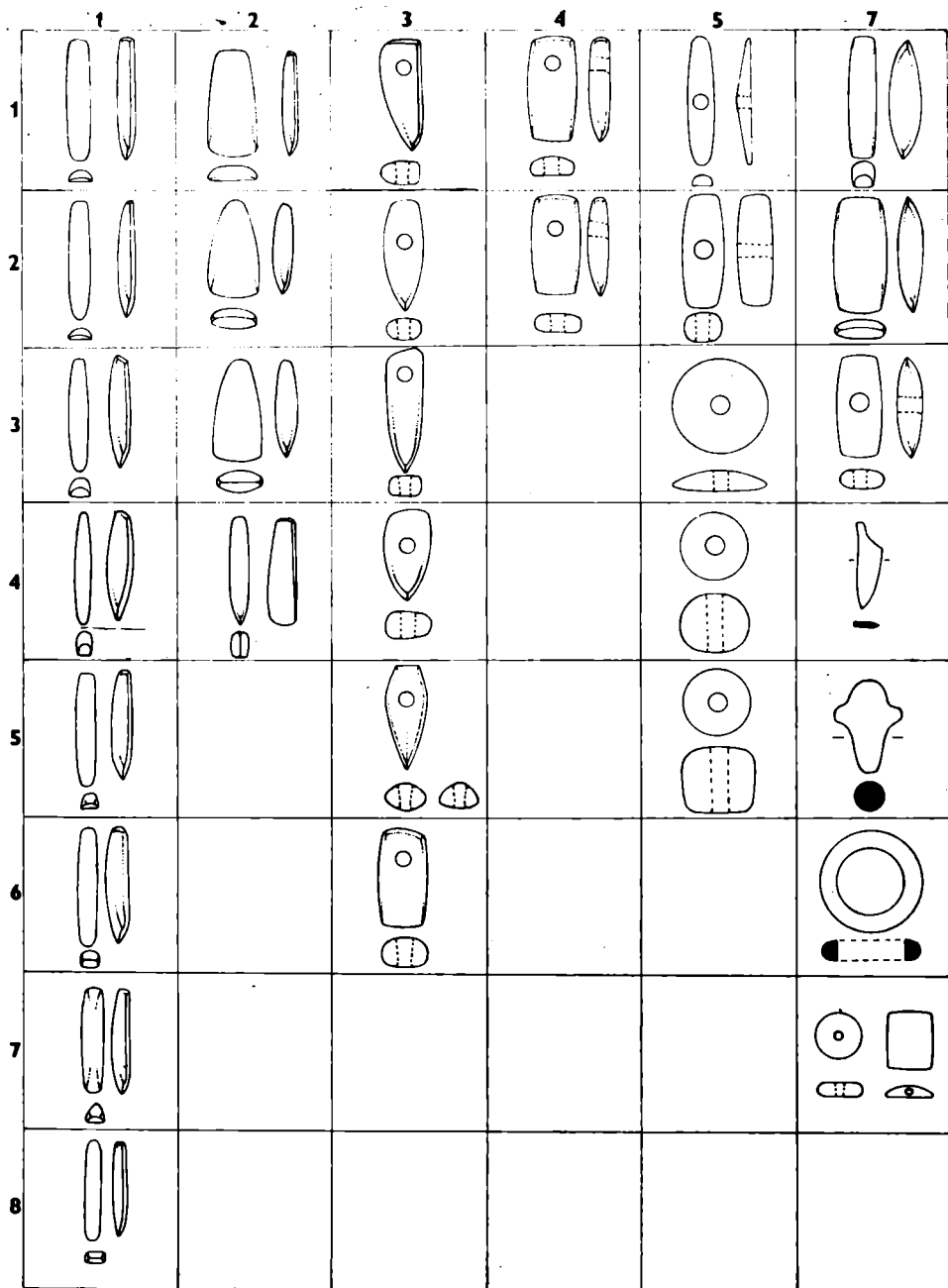
| | |
|-------------------------------------|---|
| železovská skupina | 2 |
| bukovohorská kultura | 3 |
| kultura s vypíchanou keramikou | 4 |
| Protolengyel | 5 |
| Lengyel I—II | 6 |
| potiská kultura | 7 |
| polgárská kultura | 8 |
| Lengyel III—IV; jordanovská skupina | 9 |

| Sloupec 26—28 (stupeň dochovalosti jedince) | kódové číslo |
|--|---------------------|
| zcela dochovaný jedinec | 100 |
| zanedbatelně poškozený jedinec | 110 |
| poškozena břitová partie | 111 |
| poškozena týlová partie | 112 |
| poškozen(y) bok(y) | 113 |
| poškozena plocha (hřbet, podstava) | 114 |
| poškozena břitová i týlová partie | 115 |
| lomy v rovině xy | 200 |
| odlomena týlová partie | 210 |
| odlomena týlová partie v provrtu | 211 |
| odlomena jen vlastní plocha týlu | 212 |
| odlomena týlová partie a hrana břitu | 213 |
| odlomena týlová partie v provrtu a hrana břitu | 214 |
| odlomena jen vlastní plocha týlu a hrana břitu | 215 |
| zachována týlová partie | 220 |
| zachována týlová partie odlomená v provrtu | 221 |
| zachována týlová partie bez vlastní plochy týlu | 222 |
| zachována týlová partie odlomená v provrtu bez vlastní plochy týlu | 223 |
| odlomena břitová partie | 230 |
| odlomena břitová partie a vlastní plocha týlu | 231 |
| zachována břitová partie | 240 |
| zachována břitová partie bez hrany ostří | 241 |
| zachováno tělo (týlová i břitová partie odlomeny) | 250 |
| zachováno tělo s lomem xy v provrtu | 251 |
| lomy v rovině ay | 300 |
| odlomena celá polovina | 310 |
| odlomena pravá polovina | 311 |
| odlomena levá polovina | 312 |
| odlomen bok | 320 |
| odlomen pravý bok | 321 |
| odlomen levý bok | 322 |
| odlomeny oba boky | 323 |
| lomy v rovině xa | 400 |
| odštipnutá plocha | 410 |
| odštipnutá plocha hřbetu | 411 |
| odštipnutá plocha podstavy | 412 |
| zachována plocha | 420 |
| zachována plocha hřbetu | 421 |
| zachována plocha podstavy | 422 |
| odštipnuty obě plochy | 430 |
| lomy v rovinách xy—ay | 500 |
| odlomena týlová partie a kombinace s ní | 510 |
| odlomena část týlové partie | 511 |
| odlomena část týlové partie v provrtu | 512 |
| odlomena část týlové partie s částí boku těla | 513 |
| odlomena část týlové partie v provrtu s částí boku těla | 514 |
| odlomena celá týlová partie s částí boku těla | 515 |
| odlomena celá týlová partie v provrtu s částí boku těla | 516 |
| zachována týlová partie a kombinace s ní | 520 |
| zachována část týlové partie | 521 |

| | |
|---|-----|
| zachována část týlové partie odlomené v provrtu | 522 |
| zachována část týlové partie s částí boku těla | 523 |
| zachována část týlové partie odlomené v provrtu s částí boku těla | 524 |
| zachována celá týlová partie s částí boku těla | 525 |
| zachována celá týlová partie odlomená v provrtu s částí boku těla | 526 |
| zachována celá týlová partie a část těla bez boků | 527 |
| odlomena břitová partie a kombinace s ní | 530 |
| odlomena část břitové partie | 531 |
| odlomena část břitové partie s částí boku těla | 532 |
| odlomena celá břitová partie s částí boku těla | 533 |
| zachována břitová partie a kombinace s ní | 540 |
| zachována část břitové partie | 541 |
| zachována část břitové partie s částí boku těla | 542 |
| zachována celá břitová partie s částí boku těla | 543 |
| zachována celá břitová partie s částí těla bez boků | 544 |
| zachována část břitové partie bez hrany ostří | 545 |
| zachována část břitové partie bez hrany ostří s částí boku těla | 546 |
| zachována celá břitová partie bez hrany ostří s částí boku těla | 547 |
| zachována celá břitová partie bez hrany ostří s částí těla bez boků | 548 |
| zachována polovina těla bez týlové a břitové partie | 550 |
| zachována polovina těla s lomem xy v provrtu | 551 |
| zachována polovina těla s lomem ay v provrtu | 552 |
| zachována polovina těla s lomy xy—ay v provrtu | 553 |
| zachována střední část těla (týlová i břitová partie a oba boky odlomeny) | 560 |
| zachována střední část těla s lomem xy v provrtu | 561 |
| lomy v rovinách xa—xy | 600 |
| odlomena týlová partie, odštipnuta plocha těla | 610 |
| odlomena týlová partie, odštipnuta plocha hřbetu | 611 |
| odlomena týlová partie, odštipnuta plocha podstavy | 612 |
| odlomena týlová partie v provrtu, odštipnuta plocha těla | 613 |
| odlomena týlová partie v provrtu, odštipnuta plocha hřbetu | 614 |
| odlomena týlová partie v provrtu, odštipnuta plocha podstavy | 615 |
| odlomena týlová partie, odštipnuty obě plochy těla | 616 |
| odlomena týlová partie v provrtu, odštipnuty obě plochy těla | 617 |
| zachována týlová partie, odštipnuta plocha | 620 |
| zachována týlová partie, odštipnuta plocha hřbetu | 621 |
| zachována týlová partie, odštipnuta plocha podstavy | 622 |
| zachována týlová partie odlomená v provrtu, odštipnuta plocha | 623 |
| zachována týlová partie odlomená v provrtu, odštipnuta plocha hřbetu | 624 |
| zachována týlová partie odlomená v provrtu, odštipnuta plocha podstavy | 625 |
| zachována týlová partie bez vlastní plochy týlu, odštipnuta plocha | 626 |
| zachována týlová partie odlomená v provrtu bez vlastní plochy týlu, odštipnuta plocha | 627 |
| odlomena břitová partie, odštipnuta plocha těla | 630 |
| odlomena břitová partie, odštipnuta plocha hřbetu | 631 |
| odlomena břitová partie, odštipnuta plocha podstavy | 632 |
| odlomena břitová partie, odštipnuty obě plochy | 633 |
| zachována břitová partie, odštipnuta plocha | 640 |
| zachována břitová partie, odštipnuta plocha hřbetu | 641 |
| zachována břitová partie, odštipnuta plocha podstavy | 642 |
| zachována břitová partie bez hrany ostří, odštipnuta plocha | 643 |
| zachována břitová partie bez hrany ostří, odštipnuta plocha hřbetu | 644 |
| zachována břitová partie bez hrany ostří, odštipnuta plocha podstavy | 645 |
| zachováno tělo, odštipnutá plocha | 650 |
| zachováno tělo, odštipnuta plocha hřbetu | 651 |
| zachováno tělo, odštipnuta plocha podstavy | 652 |
| zachováno tělo, odštipnuty obě plochy | 653 |
| lomy v rovinách xa—ay | 700 |
| zachována celá polovina, odštipnuta plocha těla | 710 |
| zachována celá polovina, odštipnuta plocha hřbetu | 711 |
| zachována celá polovina, odštipnuta plocha podstavy | 712 |

| | |
|--|-----|
| zachována celá polovina s lomem ay v provrtu, odštipnuta plocha těla | 713 |
| zachována celá polovina s lomem ay v provrtu, odštipnuta plocha hřbetu | 714 |
| zachována celá polovina s lomem ay v provrtu, odštipnuta plocha podstavý | 715 |
| odlomen bok, odštipnuta plocha těla | 720 |
| odlomen bok, odštipnuta plocha hřbetu | 721 |
| odlomen bok, odštipnuta plocha podstavý | 722 |
| odlomeny oba boky, odštipnuta plocha těla | 723 |
| odlomeny oba boky, odštipnuta plocha hřbetu | 724 |
| odlomeny oba boky, odštipnuta plocha pdstavý | 725 |
| lomy v rovinách xy—xa—ay | 800 |
| odlomena týlová partie s částí boku, odštipnuta plocha těla | 810 |
| odlomena týlová partie s částí boku těla, odštipnuta plocha hřbetu | 811 |
| odlomena týlová partie s částí boku těla, odštipnuta plocha podstavý | 812 |
| odlomena týlová partie v provrtu s částí boku těla, odštipnuta plocha těla | 813 |
| odlomena týlová partie v provrtu s částí boku těla, odštipnuta plocha hřbetu | 814 |
| odlomena týlová partie v provrtu s částí boku těla, odštipnuta plocha podstavý | 815 |
| zachována týlová partie s částí boku těla, odštipnuta plocha | 820 |
| zachována týlová partie s částí boku těla, odštipnuta plocha hřbetu | 821 |
| zachována týlová partie s částí boku těla, odštipnuta plocha podstavý | 822 |
| zachována týlová partie odlomená v provrtu s částí boku těla, odštipnuta plocha | 823 |
| zachována týlová partie odlomená v provrtu s částí boku těla, odštipnuta plocha hřbetu | 824 |
| zachována týlová partie odlomená v provrtu s částí boku těla, odštipnuta plocha podstavý | 825 |
| odlomena břitová partie s částí boku těla, odštipnuta plocha těla | 830 |
| odlomena břitová partie s částí boku těla, odštipnuta plocha hřbetu | 831 |
| odlomena břitová partie s částí boku těla, odštipnuta plocha podstavý | 832 |
| zachována břitová partie s částí boku těla, odštipnuta plocha | 840 |
| zachována břitová partie s částí boku těla, odštipnuta plocha hřbetu | 841 |
| zachována břitová partie s částí boku těla, odštipnuta plocha podstavý | 842 |
| zachována břitová partie bez hrany ostří s částí boku těla, odštipnuta plocha | 843 |
| zachována břitová partie bez hrany ostří s částí boku těla, odštipnuta plocha hřbetu | 844 |
| zachována břitová partie bez hrany ostří s částí boku těla, odštipnuta plocha podstavý | 845 |
| zachováno tělo bez boku, odštipnuta plocha | 850 |
| zachováno tělo bez boku, odštipnuta plocha hřbetu | 851 |
| zachováno tělo bez boku, odštipnuta plocha podstavý | 852 |
| zachováno tělo bez obou boků, odštipnuta plocha | 853 |
| zachováno tělo bez obou boků, odštipnuta plocha hřbetu | 854 |
| zachováno tělo bez obou boků, odštipnuta plocha podstavý | 855 |
| drobné úlomky | 900 |
| úloemek plochy | 910 |
| úloemek plochy hřbetu | 911 |
| úloemek plochy podstavý | 912 |
| úloemek plochy se zachyceným okrajem provrtu | 913 |
| úloemek plochy hřbetu se zachyceným okrajem provrtu | 914 |
| úloemek plochy podstavý se zachyceným okrajem provrtu | 915 |
| úloemek plochy se zachycenou hranou přechodu na bok | 920 |
| úloemek plochy hřbetu se zachycenou hranou přechodu na bok | 921 |
| úloemek plochy podstavý se zachycenou hranou přechodu na bok | 922 |
| úloemek plochy se zachycenou hranou přechodu na bok a se zachyceným okrajem provrtu | 923 |
| úloemek plochy hřbetu se zachycenou hranou přechodu na bok a se zachyceným okrajem provrtu | 924 |
| úloemek plochy podstavý se zachycenou hranou přechodu na bok a se zachyceným okrajem provrtu | 925 |

| | |
|--|---------------------|
| úlolek boku | 930 |
| úlolek boku se zachycenou hranou přechodu na plochu | 931 |
| úlolek boku se zachycenou hranou přechodu na plochu hřbetu | 932 |
| úlolek boku se zachycenou hranou přechodu na plochu podstavu | 933 |
| úlolek boku se zachycenými hranami přechodu na plochu hřbetu i podstavu | 934 |
| úlolek boku se zachyceným okrajem provrtu | 935 |
| úlolek plochy týlu | 940 |
| úlolek plochy týlu se zachycenou hranou přechodu na plochu | 941 |
| úlolek plochy týlu se zachycenou hranou přechodu na plochu hřbetu | 942 |
| úlolek plochy týlu se zachycenou hranou přechodu na plochu podstavu | 943 |
| úlolek plochy týlu se zachycenou hranou přechodu na bok | 944 |
| úlolek hrany ostří | 950 |
| amorfní úlolek | 960 |
| úlolek s částí broušeného povrchu | 961 |
| úlolek bez broušeného povrchu se zachyceným provrtem | 962 |
| Sloupec 29—30 (typ a varianta třídy broušené industrie) | kódové číslo |
| kopytovitý klín | 10 |
| nízkého plankonvexního profilu s nesníženým týlem | 11 |
| nízkého plankonvexního profilu se sníženým týlem | 12 |
| středně vysokého plankonvexního profilu | 13 |
| vysokého plankonvexního profilu | 14 |
| trapezovitého profilu | 15 |
| obdélníkovitého profilu | 16 |
| oble kvadratického profilu | 17 |
| oble trojúhelníkovitého profilu | 18 |
| sekerka | 20 |
| plochá kopytovitá | 21 |
| symetrického profilu, asymetrického ostří | 22 |
| symetrického profilu, symetrického ostří | 23 |
| kopytovitá se svislým ostřím | 24 |
| sekeromlat | 30 |
| kopytovitý | 31 |
| lengyelský | 32 |
| trojúhelníkovitý | 33 |
| srdcovitý | 34 |
| bojový | 35 |
| motykovitý | 36 |
| motyka | 40 |
| plankonvexního profilu | 41 |
| symetrického profilu | 42 |
| mlat | 50 |
| dvojramenný | 51 |
| kladivovitý | 52 |
| diskovitý | 53 |
| kulovitý | 54 |
| válcovitý | 55 |
| sekundárně upravený artefakt | 60 |
| kopytovitý klín | 61 |
| sekerka | 62 |
| sekeromlat | 63 |
| motyka | 64 |
| mlat | 65 |
| zvláštní tvary | 70 |
| dvojbřítý kopytovitý klín | 71 |
| dvojbřítá sekerka | 72 |
| dvojbřítá motyka | 73 |
| nůž | 74 |
| výstružník | 75 |
| náramek | 76 |



Obr. 1. Přehled typů a variant neoliticke kamenné broušené industrie (ke sloupci 29—30). Sekundárně upravené artefakty (61—64) nejsou pro velkou morfologickou variabilitu zachyceny.

| | |
|---------------------------|----|
| korálek | 77 |
| výrobní odpad | 80 |
| vývrtek | 81 |
| úlolek suroviny (štěpina) | 82 |

Sloupec 31 (globální tvar nárysu)

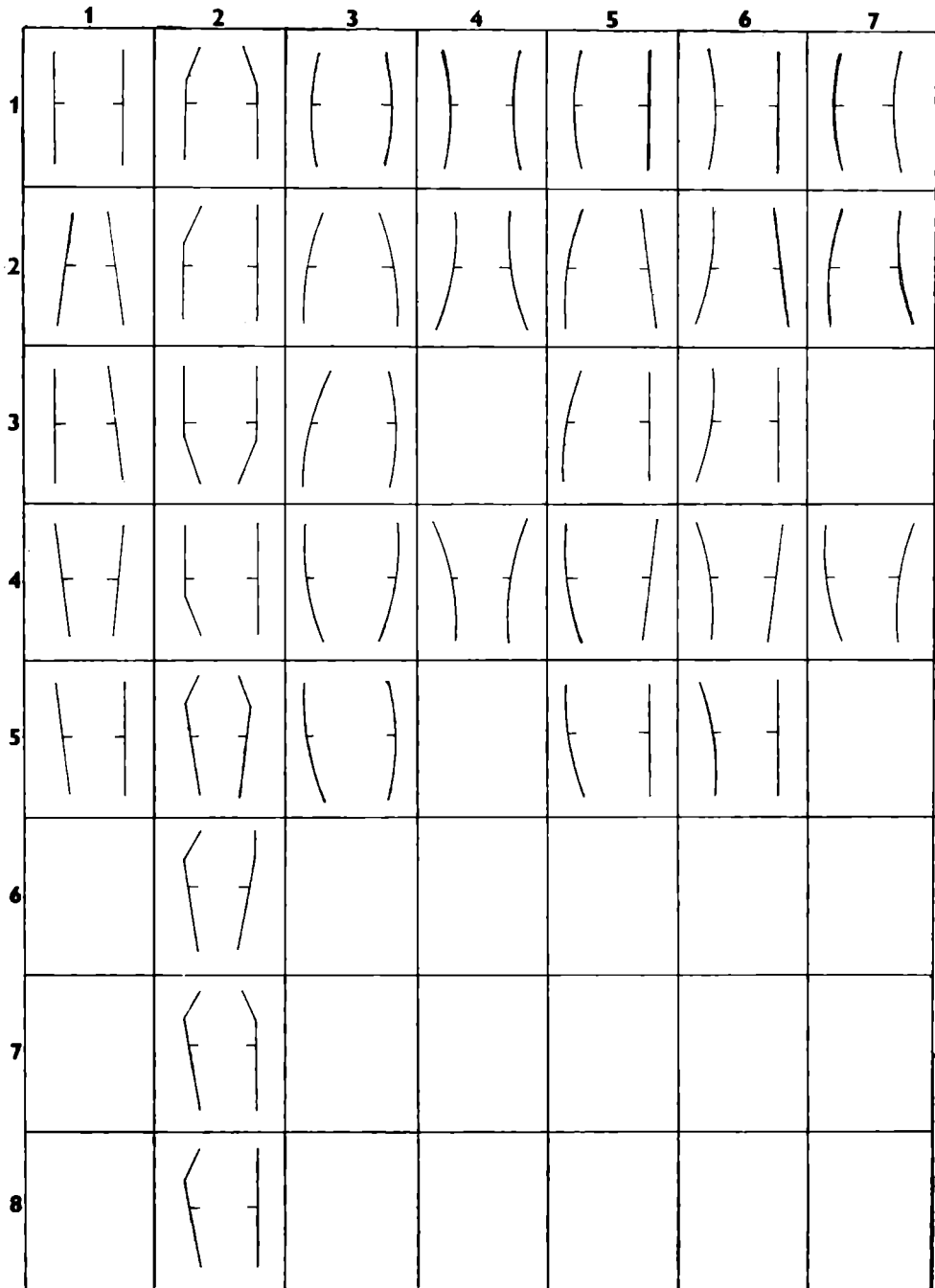
| | |
|------------------|--------------|
| | kódové číslo |
| obdélníkovitý | 1 |
| trapezovitý | 2 |
| trojúhelníkovitý | 3 |
| kvadratický | 4 |
| kosodélníkovitý | 5 |
| čtyřúhelníkovitý | 6 |
| polygonální | 7 |
| oválný | 8 |
| kruhovitý | 9 |

Sloupec 32—33 (tvar boků v nárysu)

| | |
|--|--------------|
| | kódové číslo |
| boky přímé | 10 |
| paralelně | 11 |
| symetricky konvergentně | 12 |
| asymetricky konvergentně | 13 |
| symetricky divergentně | 14 |
| asymetricky divergentně | 15 |
| boky přímé, lomené | 20 |
| paralelně — symetricky konvergentně | 21 |
| paralelně — asymetricky konvergentně | 22 |
| symetricky divergentně — paralelně | 23 |
| asymetricky divergentně — paralelně | 24 |
| symetricky divergentně — symetricky konvergentně | 25 |
| symetricky divergentně — asymetricky konvergentně | 26 |
| asymetricky divergentně — symetricky konvergentně | 27 |
| asymetricky divergentně — asymetricky konvergentně | 28 |
| boky konvexní | 30 |
| paralelně | 31 |
| symetricky konvergentně | 32 |
| asymetricky konvergentně | 33 |
| symetricky divergentně | 34 |
| asymetricky divergentně | 35 |
| boky konkávní | 40 |
| paralelně | 41 |
| symetricky konvergentně | 42 |
| symetricky divergentně | 44 |
| jeden bok přímý, druhý konvexní | 50 |
| paralelně | 51 |
| symetricky konvergentně | 52 |
| asymetricky konvergentně | 53 |
| symetricky divergentně | 54 |
| asymetricky divergentně | 55 |
| jeden bok přímý, druhý konkávní | 60 |
| paralelně | 61 |
| symetricky konvergentně | 62 |
| asymetricky konvergentně | 63 |
| symetricky divergentně | 64 |
| asymetricky divergentně | 65 |
| jeden bok konvexní, druhý konkávní | 70 |
| paralelně | 71 |
| symetricky konvergentně | 72 |
| symetricky divergentně | 73 |

Sloupec 34—35 (tvar tělu a rozhraní v nárysu)

| | |
|-----------------------------|--------------|
| těl přímo kolmý s rozhraním | kódové číslo |
| | 10 |

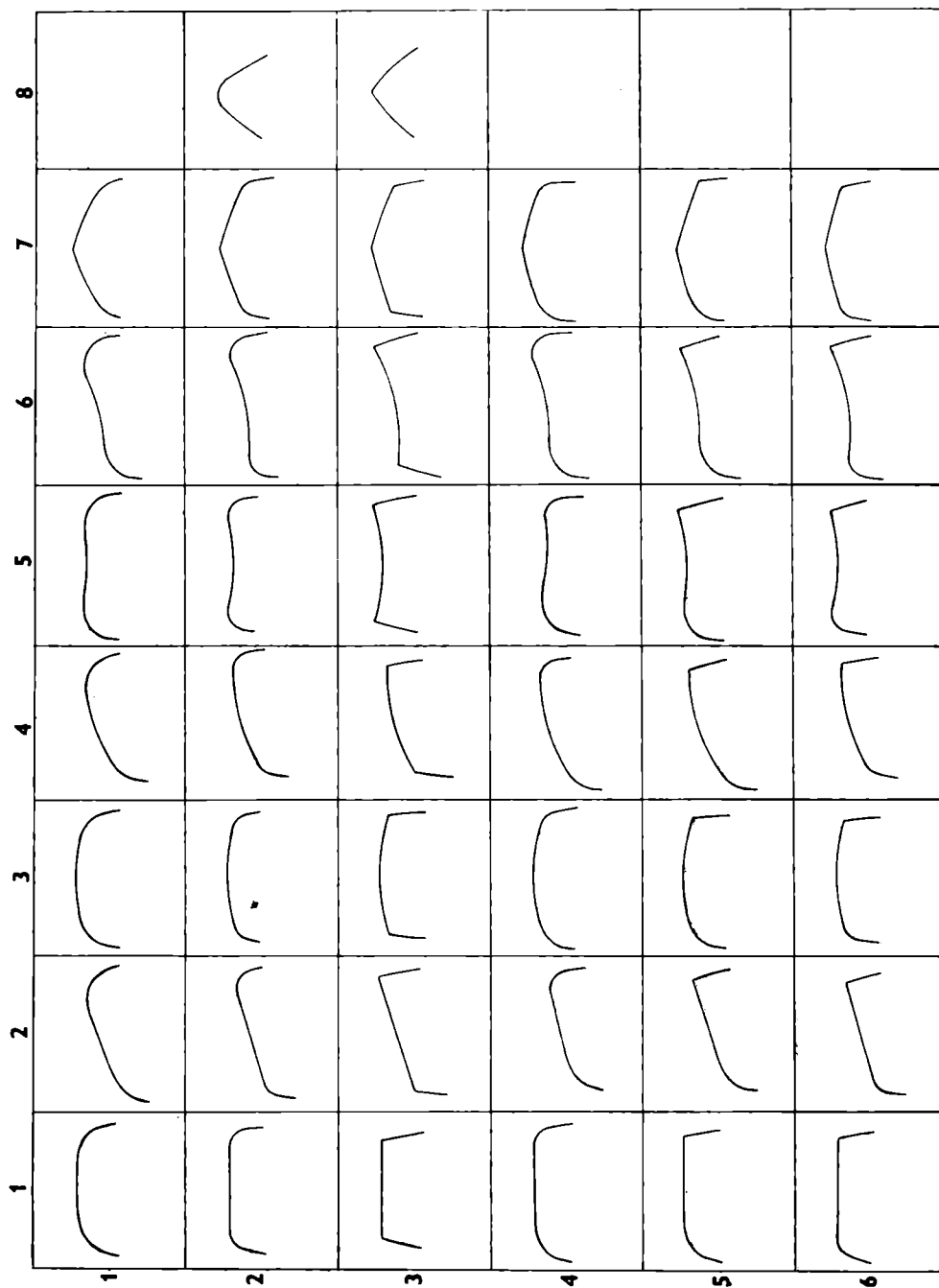


Obr. 2. Tvary boků broušených artefaktů v nárysu (ke sloupci 32—33).

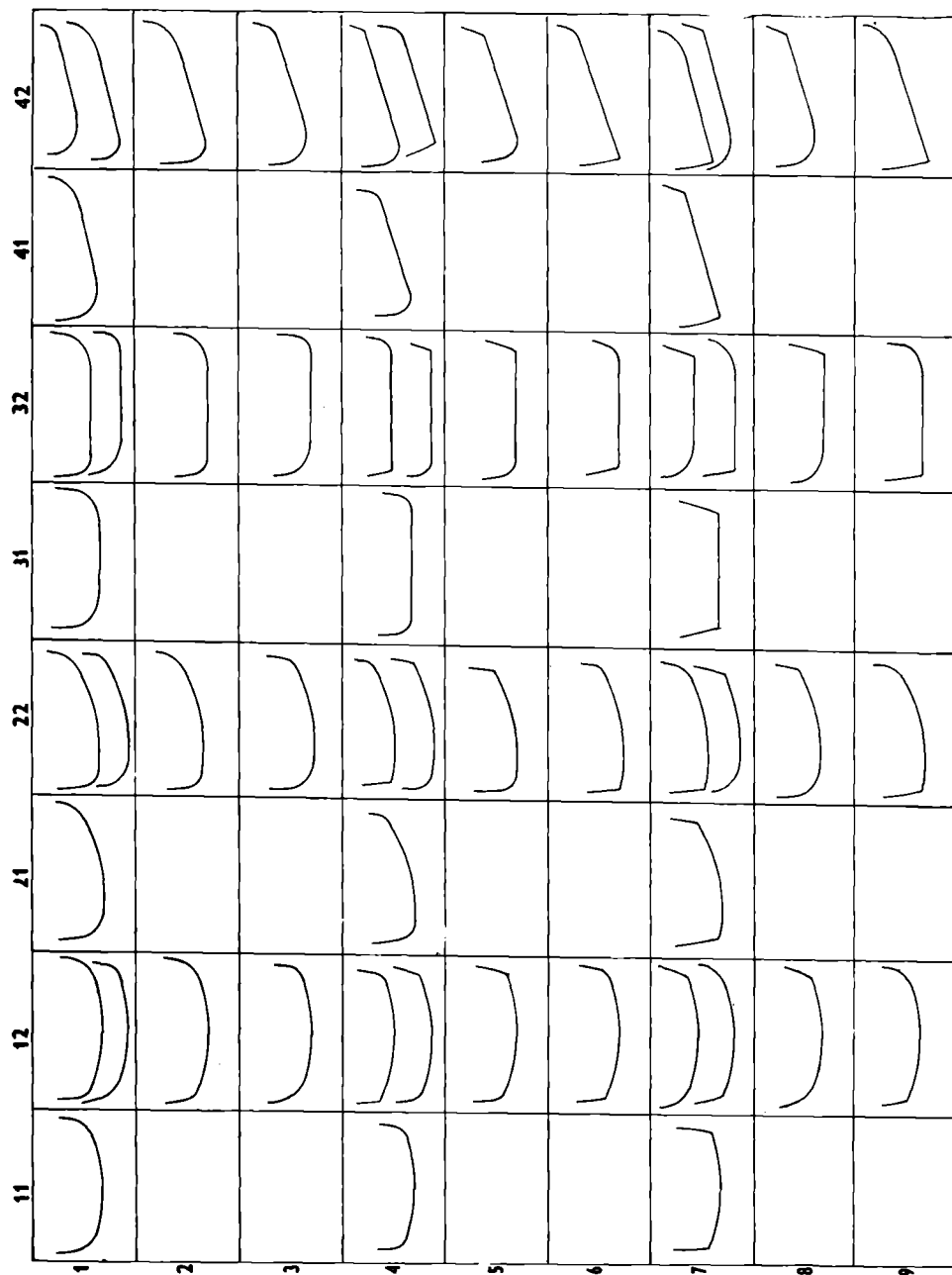
| | |
|-------------------------------------|----|
| bilaterálně plynulým | 11 |
| bilaterálně oblým | 12 |
| bilaterálně výrazným | 13 |
| plynulým a oblým | 14 |
| plynulým a výrazným | 15 |
| oblým a výrazným | 16 |
| týl přímo diagonální s rozhraním | 20 |
| bilaterálně plynulým | 21 |
| bilaterálně oblým | 22 |
| bilaterálně výrazným | 23 |
| plynulým a oblým | 24 |
| plynulým a výrazným | 25 |
| oblým a výrazným | 26 |
| týl konvexně kolmý s rozhraním | 30 |
| bilaterálně plynulým | 31 |
| bilaterálně oblým | 32 |
| bilaterálně výrazným | 33 |
| plynulým a oblým | 34 |
| plynulým a výrazným | 35 |
| oblým a výrazným | 36 |
| týl konvexně diagonální s rozhraním | 40 |
| bilaterálně plynulým | 41 |
| bilaterálně oblým | 42 |
| bilaterálně výrazným | 43 |
| plynulým a oblým | 44 |
| plynulým a výrazným | 45 |
| oblým a výrazným | 46 |
| týl konkávně kolmý s rozhraním | 50 |
| bilaterálně plynulým | 51 |
| bilaterálně oblým | 52 |
| bilaterálně výrazným | 53 |
| plynulým a oblým | 54 |
| plynulým a výrazným | 56 |
| oblým a výrazným | 55 |
| týl konkávně diagonální s rozhraním | 60 |
| bilaterálně plynulým | 61 |
| bilaterálně oblým | 62 |
| bilaterálně výrazným | 63 |
| plynulým a oblým | 64 |
| plynulým a výrazným | 65 |
| oblým a výrazným | 66 |
| týl odsazený zahrocený s rozhraním | 70 |
| bilaterálně plynulým | 71 |
| bilaterálně oblým | 72 |
| bilaterálně výrazným | 73 |
| plynulým a oblým | 74 |
| plynulým a výrazným | 75 |
| oblým a výrazným | 76 |
| týl neodsazený zahrocený | 80 |
| oble | 82 |
| výrazně | 83 |

Sloupec 36—38 (tvar břítu a rozhraní v nárysu, bokorysu variant 24, 31—35)

| | | |
|---------------------------------|--------------|-----|
| břit konvexně kolmý | kódové číslo | 100 |
| rozhraní bilaterálně symetrická | | 110 |
| plynulá | | 111 |
| oblá | | 114 |
| výrazná | | 117 |
| rozhraní asymetrická | | 120 |
| oble a plynule | | 121 |

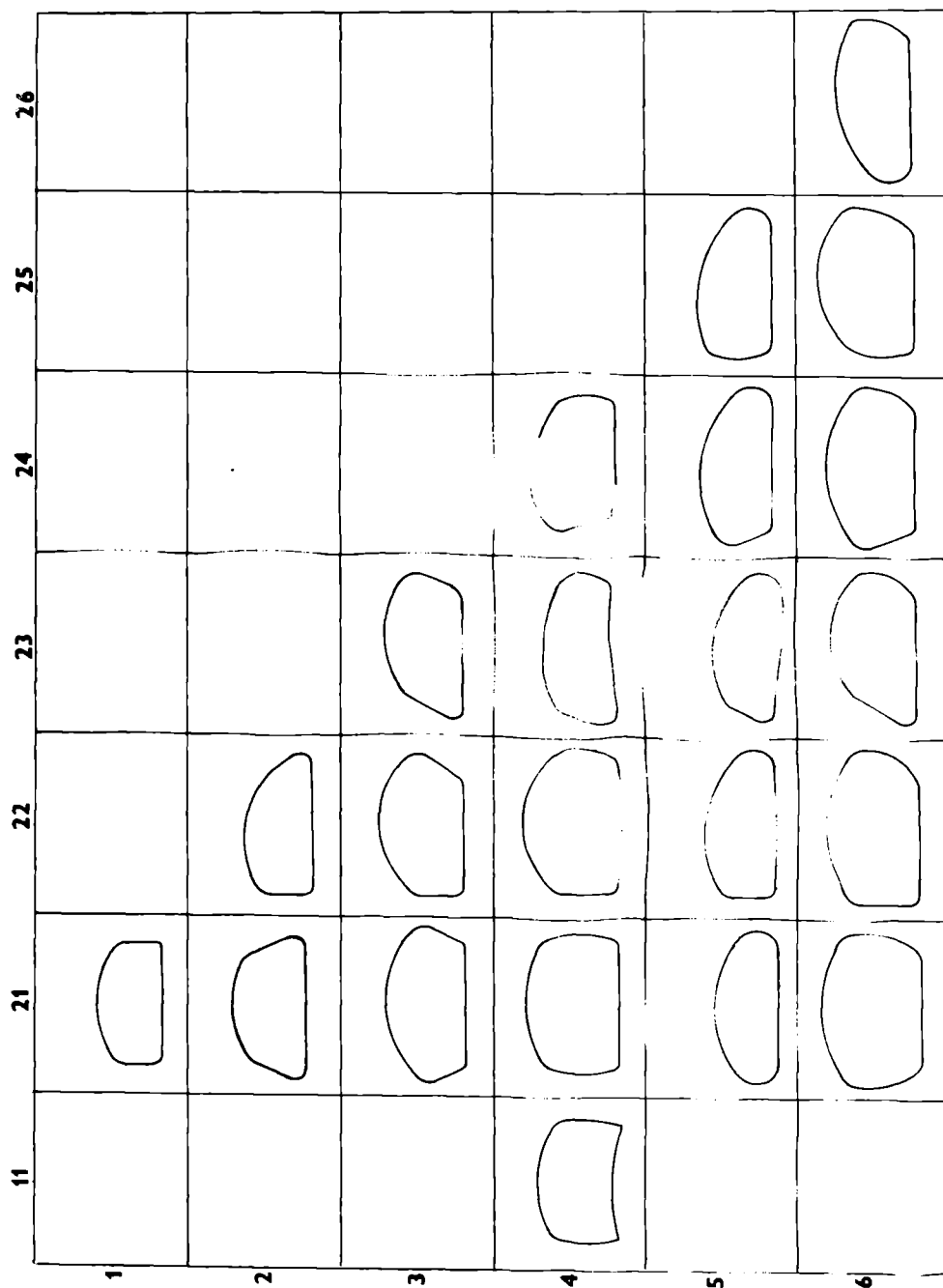


Obr. 3. Tvary týlu a rozhraní broušených artefaktů v nárysu (ke sloupci 34—35).

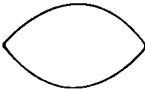
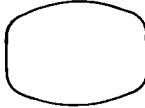
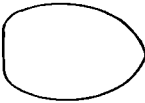
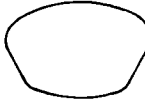
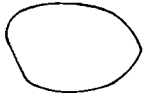



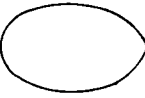


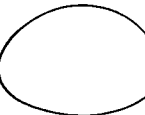







Obr. 4. Tvary břítu a rozhraní broušených artefaktů v nárýsu (bokorysu variant 24, 31–35; ke sloupci 36–38).

| | |
|--|---------------------|
| špice oblá, pata plynulá | 122 |
| špice plynulá, pata oblá | 123 |
| oble a výrazně | 124 |
| špice oblá, pata výrazná | 125 |
| špice výrazná, pata oblá | 126 |
| plynule a výrazně | 127 |
| špice plynulá, pata výrazná | 128 |
| špice výrazná, pata plynulá | 129 |
| břit konvexně diagonální | 200 |
| rozhraní bilaterálně symetrická | 210 |
| plynulá | 211 |
| oblá | 214 |
| výrazná | 217 |
| rozhraní asymetrická | 220 |
| oble a plynule | 221 |
| špice oblá, pata plynulá | 222 |
| špice plynulá, pata oblá | 223 |
| oble a výrazně | 224 |
| špice oblá, pata výrazná | 225 |
| špice výrazná, pata oblá | 226 |
| plynule a výrazně | 227 |
| špice plynulá, pata výrazná | 228 |
| špice výrazná, pata plynulá | 229 |
| břit přímo kolmý | 300 |
| rozhraní bilaterálně symetrická | 310 |
| plynulá | 311 |
| oblá | 314 |
| výrazná | 317 |
| rozhraní asymetrická | 320 |
| oble a plynule | 321 |
| špice oblá, pata plynulá | 322 |
| špice plynulá, pata oblá | 323 |
| oble a výrazně | 324 |
| špice oblá, pata výrazná | 325 |
| špice výrazná, pata oblá | 326 |
| plynule a výrazně | 327 |
| špice plynulá, pata výrazná | 328 |
| špice výrazná, pata plynulá | 329 |
| břit přímo diagonální | 400 |
| rozhraní bilaterálně symetrická | 410 |
| plynulá | 411 |
| oblá | 414 |
| výrazná | 417 |
| rozhraní asymetrická | 420 |
| oble a plynule | 421 |
| špice oblá, pata plynulá | 422 |
| špice plynulá, pata oblá | 423 |
| oble a výrazně | 424 |
| špice oblá, pata výrazná | 425 |
| špice výrazná, pata oblá | 426 |
| plynule a výrazně | 427 |
| špice plynulá, pata výrazná | 428 |
| špice výrazná, pata plynulá | 429 |
| Sloupec 39—41 (tvar příčného profilu) | kódové číslo |
| konkávkonvexní | 100 |
| symetrický | 110 |
| boky konvexně paralelní | 114 |
| plankonvexní | 200 |
| symetrický | 210 |
| boky přímo paralelní | 211 |


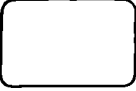





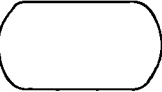











Obr. 5. Konkávkonvexní a plankonvexní tvary příčného profilu broušených artefaktů (ke sloupci 39—41).

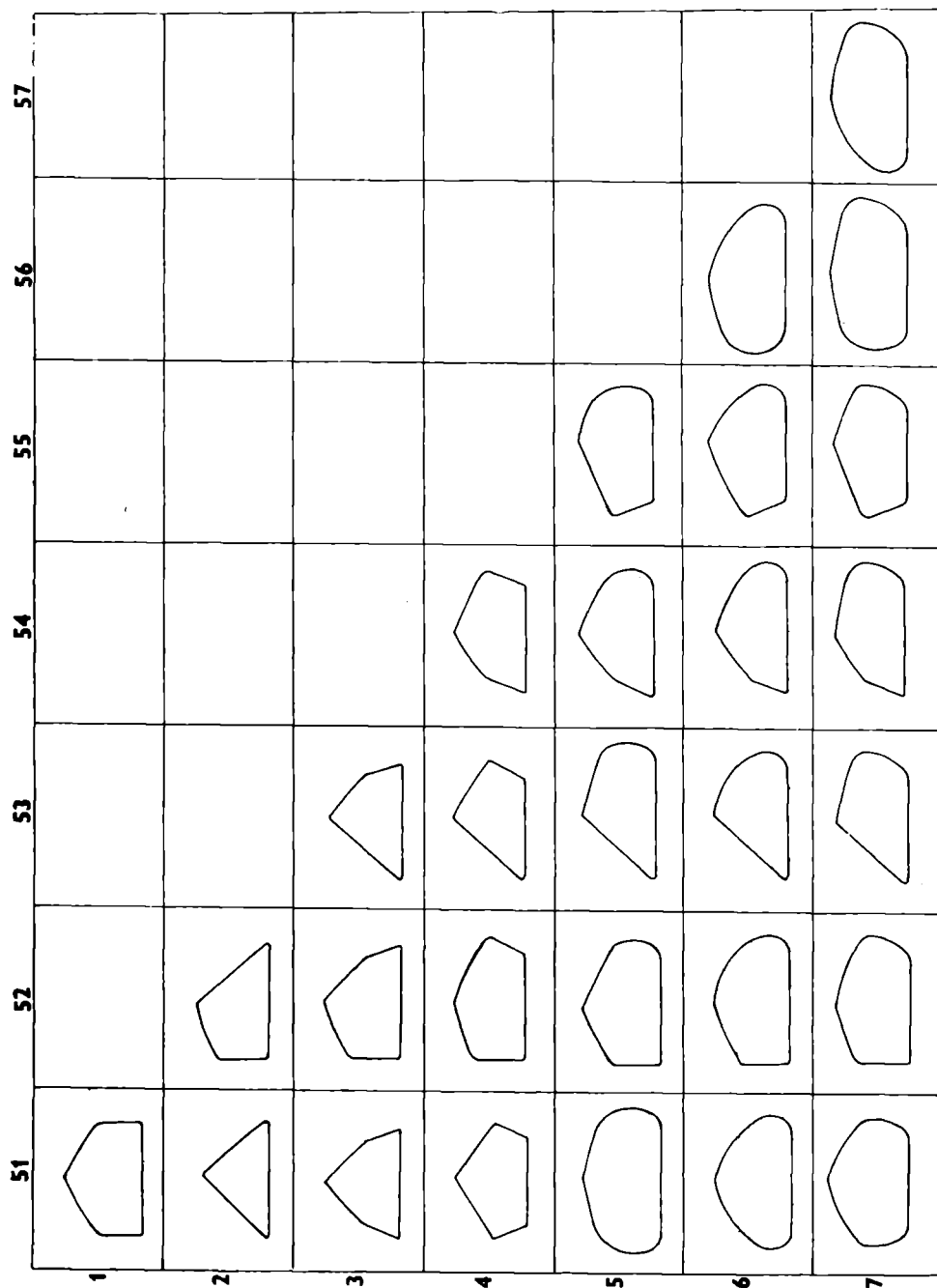
| | 31 | 32 | 33 | 34 | 35 |
|---|---|---|---|---|--|
| 1 |  | | | | |
| 2 |  |  | | | |
| 3 |  |  |  | | |
| 4 | | | |  | |
| 5 |  |  |  |  | |
| 6 |  |  |  |  |  |
| 7 | | | |  | |

Obr. 6. Bikonvexní tvary příčného profilu broušených artefaktů (ke sloupci 39—41).

| | |
|---|-----|
| boky přímo konvergentní | 212 |
| boky přímo divergentní | 213 |
| boky konvexně paralelní | 214 |
| boky konvexně konvergentní | 215 |
| boky konvexně divergentní | 216 |
| asymetrický, jeden bok přímo kolmý | 220 |
| druhý bok přímo zkosený | 222 |
| druhý bok přímo podseknutý | 223 |
| druhý bok konvexně kolmý | 224 |
| druhý bok konvexně zkosený | 225 |
| druhý bok konvexně podseknutý | 226 |
| asymetrický, jeden bok přímo zkosený | 230 |
| druhý bok přímo podseknutý | 233 |
| druhý bok konvexně kolmý | 234 |
| druhý bok konvexně zkosený | 235 |
| druhý bok konvexně podseknutý | 236 |
| asymetrický, jeden bok přímo podseknutý | 240 |
| druhý bok konvexně kolmý | 244 |
| druhý bok konvexně zkosený | 245 |
| druhý bok konvexně podseknutý | 246 |
| asymetrický, jeden bok konvexně kolmý | 250 |
| druhý bok konvexně zkosený | 255 |
| druhý bok konvexně podseknutý | 256 |
| asymetrický, jeden bok konvexně zkosený | 260 |
| druhý bok konvexně podseknutý | 266 |
| bikonvexní | 300 |
| symetrický | 310 |
| s bočními hranami | 311 |
| boky přímo paralelní | 312 |
| boky přímo diagonální | 313 |
| boky konvexně paralelní | 315 |
| boky konvexně diagonální | 316 |
| asymetrický, jeden bok tvořen hranou | 320 |
| druhý bok přímo kolmý | 322 |
| druhý bok přímo diagonální | 323 |
| druhý bok konvexně kolmý | 325 |
| druhý bok konvexně diagonální | 326 |
| asymetrický, jeden bok přímo kolmý | 330 |
| druhý bok přímo diagonální | 333 |
| druhý bok konvexně kolmý | 335 |
| druhý bok konvexně diagonální | 336 |
| asymetrický, jeden bok přímo diagonální (zkosený) | 340 |
| druhý bok přímo diagonální (podseknutý) | 344 |
| druhý bok konvexně kolmý | 345 |
| druhý bok konvexně zkosený | 346 |
| druhý bok konvexně podseknutý | 347 |
| asymetrický, jeden bok konvexně kolmý | 350 |
| druhý bok konvexně diagonální | 356 |
| obdélníkovitý | 400 |
| symetrický | 410 |
| s bočními hranami | 411 |
| boky přímo paralelní | 412 |
| boky přímo diagonální | 413 |
| boky konvexně paralelní | 415 |
| boky konvexně diagonální | 416 |
| asymetrický, jeden bok tvořen hranou | 420 |
| druhý bok přímo kolmý | 422 |
| druhý bok přímo diagonální | 423 |
| druhý bok konvexně kolmý | 425 |
| druhý bok konvexně diagonální | 426 |

| | 41 | 42 | 43 | 44 | 45 |
|---|---|---|---|---|--|
| 1 |  | | | | |
| 2 |  |  | | | |
| 3 |  |  |  | | |
| 4 | | | |  | |
| 5 |  |  |  |  | |
| 6 |  |  |  |  |  |
| 7 | | | |  | |

Obr. 7. Obdélníkové tvary příčného profilu broušených artefaktů (ke sloupce 39—41).



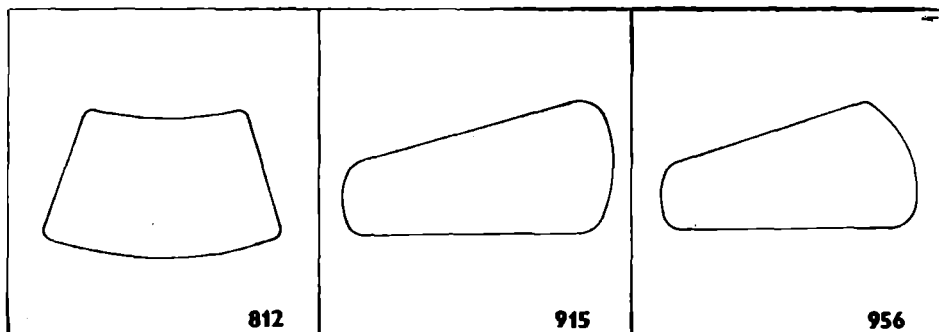
Obr. 8. Plantrigonální tvary příčného profilu broušených artefaktů (ke sloupci 39—41).

| | |
|---|-----|
| asymetrický, jeden bok přímo kolmý | 430 |
| druhý bok přímo diagonální | 433 |
| druhý bok konvexně kolmý | 435 |
| druhý bok konvexně diagonální | 436 |
| asymetrický, jeden bok přímo diagonální (zkosený) | 440 |
| druhý bok přímo diagonální (podseknutý) | 444 |
| druhý bok konvexně kolmý | 445 |
| druhý bok konvexně zkosený | 446 |
| druhý bok konvexně podseknutý | 447 |
| asymetrický, jeden bok konvexně kolmý | 450 |
| druhý bok konvexně diagonální | 456 |
| plantrigonální | 500 |
| symetrický | 510 |
| boky přímo paralelní | 511 |
| boky přímo konvergentní neodsazené | 512 |
| boky přímo konvergentní odsazené | 513 |
| boky přímo divergentní | 514 |
| boky konvexně paralelní | 515 |
| boky konvexně konvergentní | 516 |
| boky konvexně divergentní | 517 |
| asymetrický, jeden bok přímo kolmý | 520 |
| druhý bok přímo zkosený neodsazený | 522 |
| druhý bok přímo zkosený odsazený | 523 |
| druhý bok přímo podseknutý | 524 |
| druhý bok konvexně kolmý | 525 |
| druhý bok konvexně zkosený | 526 |
| druhý bok konvexně podseknutý | 527 |
| asymetrický, jeden bok přímo zkosený neodsazený | 530 |
| druhý bok přímo zkosený odsazený | 533 |
| druhý bok přímo podseknutý | 534 |
| druhý bok konvexně kolmý | 535 |
| druhý bok konvexně zkosený | 536 |
| druhý bok konvexně podseknutý | 537 |
| asymetrický, jeden bok přímo zkosený odsazený | 540 |
| druhý bok přímo podseknutý | 544 |
| druhý bok konvexně kolmý | 545 |
| druhý bok konvexně zkosený | 546 |
| druhý bok konvexně podseknutý | 547 |
| asymetrický, jeden bok přímo podseknutý | 550 |
| druhý bok konvexně kolmý | 555 |
| druhý bok konvexně zkosený | 556 |
| druhý bok konvexně podseknutý | 557 |
| asymetrický, jeden bok konvexně kolmý | 560 |
| druhý bok konvexně zkosený | 566 |
| druhý bok konvexně podseknutý | 567 |
| asymetrický, jeden bok konvexně zkosený | 570 |
| druhý bok konvexně podseknutý | 577 |
| konkávtrigonální | 600 |
| konvextrigonální | 700 |
| konvexkonkávni | 800 |
| symetrický | 810 |
| boky přímo konvergentní | 812 |
| čtyřúhelníkovitý | 900 |
| symetrický | 910 |
| boky konvexně paralelní | 915 |
| asymetrický, jeden bok konvexně kolmý | 950 |
| druhý bok konvexně diagonální | 956 |

Sloupec 42 (tvar bazálních hran příčného profilu)

kódové číslo

| | |
|----------------------|---|
| bilaterálně výrazný | 1 |
| bilaterálně fasetový | 2 |



Obr. 9. Konvexkonkávní a čtyřúhelníkovité tvary příčného profilu broušených artefaktů (ke sloupci 39—41).

| | |
|---------------------|---|
| bilaterálně oblý | 3 |
| bilaterálně plynulý | 4 |
| výrazný a fasetový | 5 |
| výrazný a oblý | 6 |
| výrazný a plynulý | 7 |
| fasetový a oblý | 8 |
| oblý a plynulý | 9 |

Sloupec 43 (tvar dorsálních hran příčného profilu)

kódové číslo

| | |
|----------------------|---|
| bilaterálně výrazný | 1 |
| bilaterálně fasetový | 2 |
| bilaterálně oblý | 3 |
| bilaterálně plynulý | 4 |
| výrazný a fasetový | 5 |
| výrazný a oblý | 6 |
| výrazný a plynulý | 7 |
| fasetový a oblý | 8 |
| oblý a plynulý | 9 |

Sloupec 44 (tvar laterální hrany — laterálních hran příčného profilu)

kódové číslo

| | |
|------------------------|---|
| (bilaterálně) výrazný | 1 |
| (bilaterálně) fasetový | 2 |
| (bilaterálně) oblý | 3 |
| výrazný a fasetový | 5 |
| výrazný a oblý | 6 |
| fasetový a oblý | 8 |

Sloupec 45 (tvar terminální hrany příčného profilu)

kódové číslo

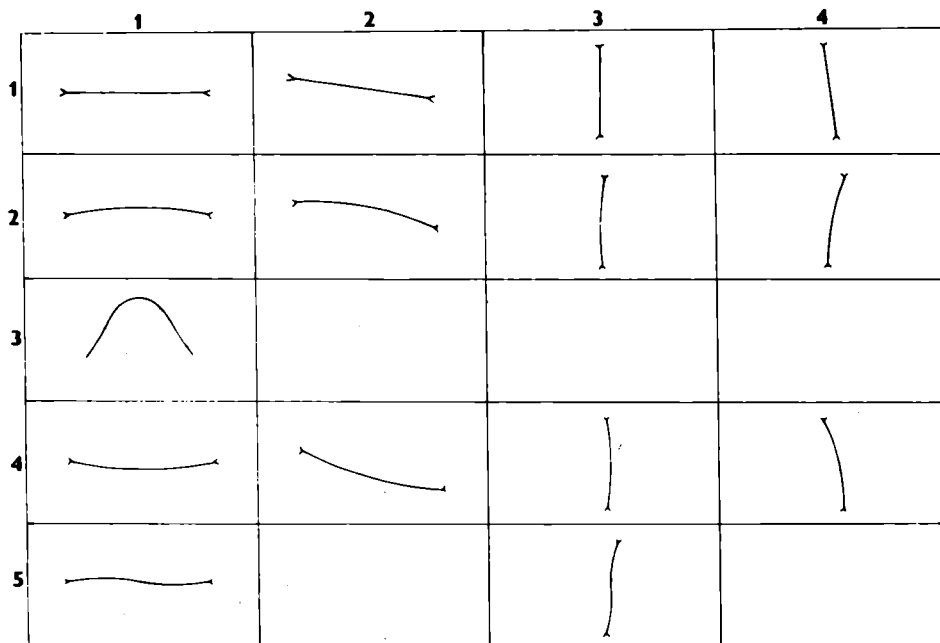
| | |
|----------|---|
| výrazný | 1 |
| fasetový | 2 |
| oblý | 3 |

Sloupec 46—47 (tvar hrany ostří v čelném průmětu)

kódové číslo

| | |
|-------------------------------|----|
| horizontální | 10 |
| přímý | 11 |
| mírně konvexní | 12 |
| výrazně konvexní až zahrocený | 13 |
| konkávní | 14 |
| esovitý | 15 |
| horizontálně šikmý | 20 |
| přímý | 21 |

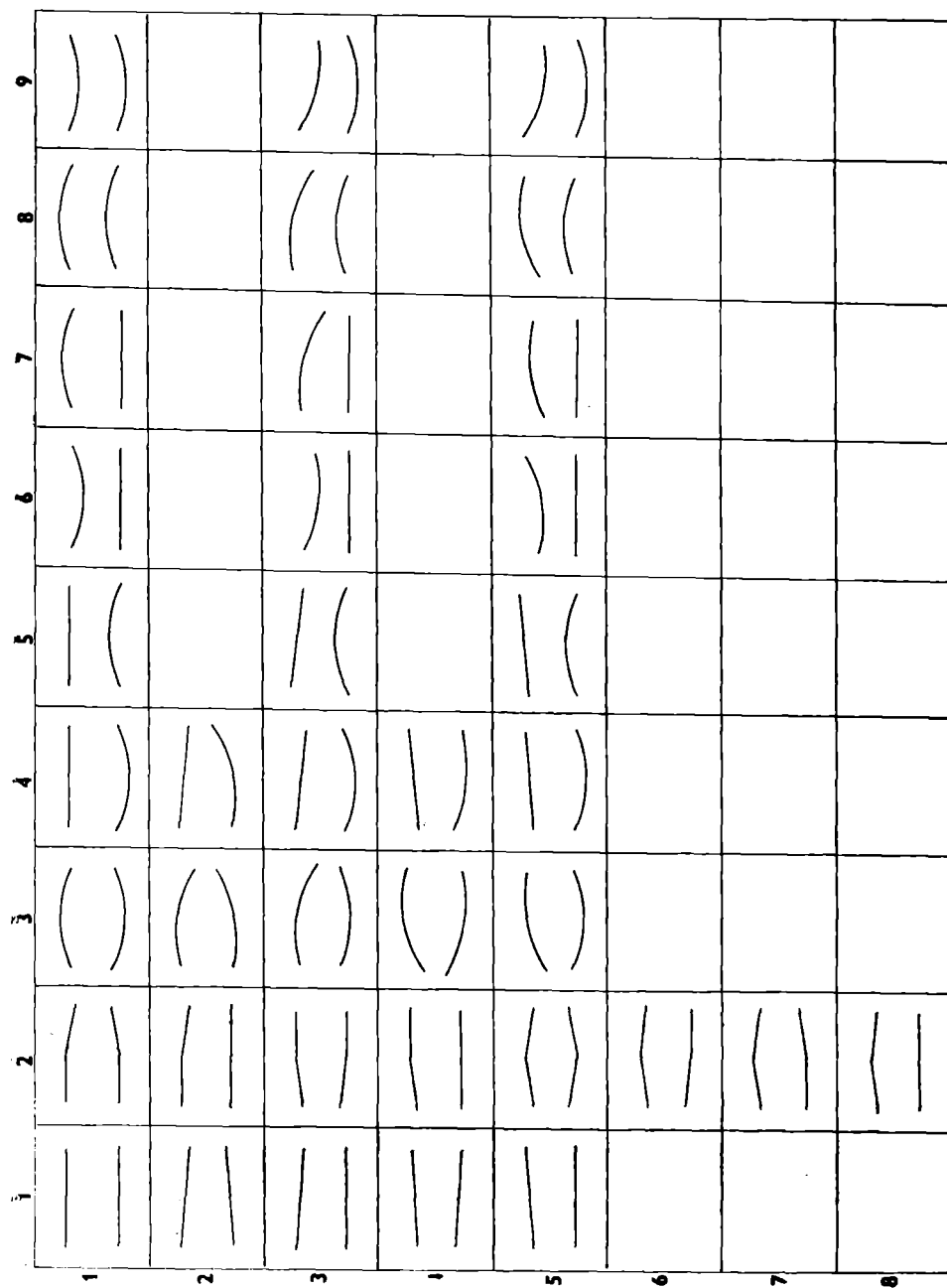
| | |
|------------------|----|
| mírně konvexní | 22 |
| konkávní | 24 |
| vertikální | 30 |
| přímý | 31 |
| klenutý vlevo | 32 |
| klenutý vpravo | 34 |
| esovitý | 35 |
| vertikálně šikmý | 40 |
| přímý | 41 |
| klenutý vlevo | 42 |
| klenutý vpravo | 44 |



Obr. 10. Tvary hrany ostří broušených artefaktů v čelném průmětu (ke sloupci 46—47).

Sloupec 48—49 (tvar bokorysu)

| | |
|---|--------------|
| hřbet i podstava přímé | kódové číslo |
| paralelně | 10 |
| symetricky konvergentně | 11 |
| asymetricky konvergentně | 12 |
| symetricky divergentně | 13 |
| asymetricky divergentně | 14 |
| paralelně — symetricky konvergentně | 15 |
| paralelně — asymetricky konvergentně | 20 |
| symetricky divergentně — paralelně | 21 |
| asymetricky divergentně — paralelně | 22 |
| symetricky divergentně — symetricky konvergentně | 23 |
| symetricky divergentně — asymetricky konvergentně | 24 |
| asymetricky divergentně — symetricky konvergentně | 25 |
| symetricky divergentně — asymetricky konvergentně | 26 |
| asymetricky divergentně — symetricky konvergentně | 27 |



Obr. 11. Tvary bokorysů broušených artefaktů (ke sloupci 48—49).

| | |
|--|----|
| asymetricky divergentně — asymetricky konvergentně | 28 |
| hřbet i podstava konvexní | 30 |
| paralelně | 31 |
| symetricky konvergentně | 32 |
| asymetricky konvergentně | 33 |
| symetricky divergentně | 34 |
| asymetricky divergentně | 35 |
| hřbet přímý, podstava konvexní | 40 |
| paralelně | 41 |
| symetricky konvergentně | 42 |
| asymetricky konvergentně | 43 |
| symetricky divergentně | 44 |
| asymetricky divergentně | 45 |
| hřbet přímý, podstava konkávní | 50 |
| paralelně | 51 |
| asymetricky konvergentně | 53 |
| asymetricky divergentně | 55 |
| hřbet konkávní, podstava přímá | 60 |
| paralelně | 61 |
| asymetricky konvergentně | 63 |
| asymetricky divergentně | 65 |
| hřbet konvexní, podstava přímá | 70 |
| paralelně | 71 |
| asymetricky konvergentně | 73 |
| asymetricky divergentně | 75 |
| hřbet konvexní, podstava konkávní | 80 |
| paralelně | 81 |
| asymetricky konvergentně | 83 |
| asymetricky divergentně | 85 |
| hřbet konkávní, podstava konvexní | 90 |
| paralelně | 91 |
| asymetricky konvergentně | 93 |
| asymetricky divergentně | 95 |

Sloupec 50—51 (tvar týlu a rozhraní v bokorysu)

kódové číslo

| | |
|---|----|
| týl přímo kolmý s rozhraním symetrickým | 10 |
| plynulým | 11 |
| oblým | 12 |
| výrazným | 13 |
| fasetovým | 14 |
| týl přímo kolmý s rozhraním asymetrickým | 20 |
| plynulým a oblým | 21 |
| plynulým a výrazným | 22 |
| plynulým a fasetovým | 23 |
| oblým a výrazným | 24 |
| oblým a fasetovým | 25 |
| výrazným a fasetovým | 26 |
| týl přímo diagonální s rozhraním symetrickým | 30 |
| plynulým | 31 |
| oblým | 32 |
| výrazným | 33 |
| fasetovým | 34 |
| týl přímo diagonální s rozhraním asymetrickým | 40 |
| plynulým a oblým | 41 |
| plynulým a výrazným | 42 |
| plynulým a fasetovým | 43 |
| oblým a výrazným | 44 |
| oblým a fasetovým | 45 |
| výrazným a fasetovým | 46 |
| týl konvexně kolmý s rozhraním symetrickým | 50 |
| plynulým | 51 |

| | |
|--|----|
| oblým | 52 |
| výrazným | 53 |
| fasetovým | 54 |
| týl konvexně kolmý s rozhraním asymetrickým | 60 |
| plynulým a oblým | 61 |
| plynulým a výrazným | 62 |
| plynulým a fasetovým | 63 |
| oblým a výrazným | 64 |
| oblým a fasetovým | 65 |
| výrazným a fasetovým | 66 |
| týl konvexně diagonální s rozhraním symetrickým | 70 |
| plynulým | 71 |
| oblým | 72 |
| výrazným | 73 |
| fasetovým | 74 |
| týl konvexně diagonální s rozhraním asymetrickým | 80 |
| plynulým a oblým | 81 |
| plynulým a výrazným | 82 |
| plynulým a fasetovým | 83 |
| oblým a výrazným | 84 |
| oblým a fasetovým | 85 |
| výrazným a fasetovým | 86 |
| týl zahrocený | 90 |
| neodsazený | 91 |
| odsazený unifaciálně, oble | 92 |
| odsazený bifaciálně, oble | 93 |
| odsazený bifaciálně, výrazně | 94 |
| odsazený bifaciálně, oble a výrazně | 95 |

Sloupec 52 (tvar břitu v bokorysu, nárysu variant 24, 31—35)

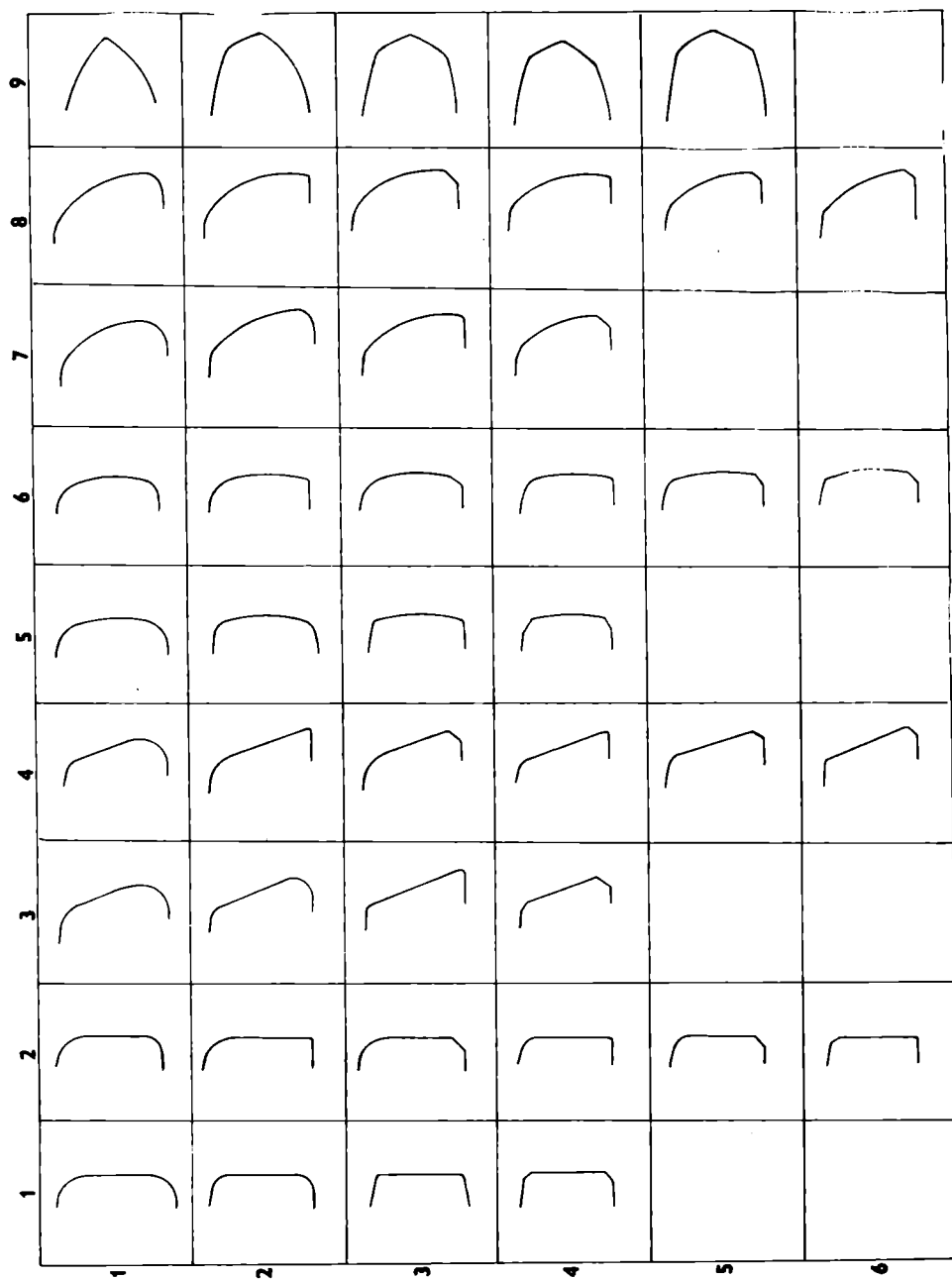
| | |
|--|--------------|
| bazálně přímo, dorsálně konvexně sbroušený | kódové číslo |
| (nárysně zprava přímo, zleva konvexně sbroušený) | 1 |
| bazálně konvexně, dorsálně přímo sbroušený | 2 |
| (nárysně zprava konvexně, zleva přímo sbroušený) | 3 |
| bifaciálně (bilaterálně) přímo sbroušený | 4 |
| bifaciálně (bilaterálně) konvexně sbroušený | kódové číslo |
| bokorys pro varianty 51, 52 | 1 |
| přímo kolmý se symetrickým rozhraním | 2 |
| přímo kolmý s asymetrickým rozhraním | 3 |
| přímo diagonální se symetrickým rozhraním | 4 |
| přímo diagonální s asymetrickým rozhraním | 5 |
| konvexně kolmý se symetrickým rozhraním | 6 |
| konvexně kolmý s asymetrickým rozhraním | 7 |
| konvexně diagonální se symetrickým rozhraním | 8 |
| konvexně diagonální s asymetrickým rozhraním | 9 |
| zahrocený | 9 |

Sloupec 53 (tvar provrtu)

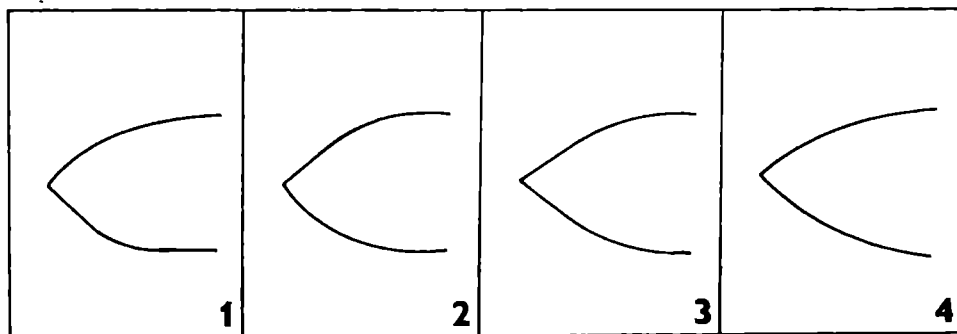
| | |
|------------------------------|--------------|
| primární provrt: válcovitý | kódové číslo |
| kónický | 1 |
| bikónický | 2 |
| sekundární provrt: válcovitý | 3 |
| kónický | 4 |
| bikónický | 5 |
| | 6 |

Sloupec 54—96 (metrické údaje)**Sloupec 97—98 (stav výroby artefaktu z funkčního aspektu)**

| | |
|---|--------------|
| dokončený artefakt | kódové číslo |
| polotovár | 10 |
| hrana břitu otupena fasetkou nebo nevybroušena | 20 |
| hrana břitu otupena fasetkou nebo nevybroušena, tělo sbroušeno do faset | 21 |
| | 22 |



Obr. 12. Tvary týlu a rozhraní broušených artefaktů v bokorysu (ke sloupci 50—51).



Obr. 13. Tvary břítu broušených artefaktů v bokorysu (nárys variant 24, 31—35; ke sloupci 52).

| | |
|--|---------------------|
| břítovou partii morfologicky lze již definovat | 23 |
| břítovou partii morfologicky nelze ještě definovat | 24 |
| nedokončen provrt | 25 |
| surovina | 30 |
| se stopami opracování | 31 |
| beze stop opracování | 31 |
| Sloupec 99—100 (úprava povrchu vyjma týlové plochy) | kódové číslo |
| odbíjení | 10 |
| po celém povrchu | 11 |
| lokálně hrubé broušení až vyhlazení | 12 |
| lokálně dochován nezvětralý povrch suroviny | 13 |
| lokálně dochován zvětralý povrch suroviny | 14 |
| lokálně hrubé broušení až vyhlazení a nezvětralý povrch suroviny | 15 |
| lokálně hrubé broušení až vyhlazení a zvětralý povrch suroviny | 16 |
| hrubé broušení | 20 |
| po celém povrchu | 21 |
| lokálně nevybroušené jizvy nebo vklesliny | 22 |
| lokálně dochován nezvětralý povrch suroviny | 23 |
| lokálně dochován zvětralý povrch suroviny | 24 |
| lokálně nevybroušené jizvy nebo vklesliny a nezvětralý povrch suroviny | 25 |
| lokálně nevybroušené jizvy nebo vklesliny a zvětralý povrch suroviny | 26 |
| vybroušení do hladka | 30 |
| po celém povrchu | 31 |
| lokálně nevybroušené jizvy nebo vklesliny | 32 |
| lokálně dochován nezvětralý povrch suroviny | 33 |
| lokálně dochován zvětralý povrch suroviny | 34 |
| lokálně nevybroušené jizvy nebo vklesliny a nezvětralý povrch suroviny | 35 |
| lokálně nevybroušené jizvy nebo vklesliny a zvětralý povrch suroviny | 36 |
| leštění | 40 |
| po celém povrchu | 41 |
| lokálně nevybroušené jizvy nebo vklesliny | 42 |
| lokálně dochován nezvětralý povrch suroviny | 43 |
| lokálně dochován zvětralý povrch suroviny | 44 |
| lokálně nevybroušené jizvy nebo vklesliny a nezvětralý povrch suroviny | 45 |
| lokálně nevybroušené jizvy nebo vklesliny a zvětralý povrch suroviny | 46 |
| úprava základů vývrťku | kódové číslo |
| obě základny odbíjeny | 10 |
| jedna základna vybroušena | 20 |
| vybroušena základna menšího průměru | 21 |
| vybroušena základna většího průměru | 22 |
| obě základny vybroušeny | 30 |

| | |
|--|--------------|
| Sloupec 101 (úprava týlové plochy) | kódové číslo |
| odbíjení | 1 |
| hrubé přebroušení | 2 |
| hrubé přebroušení s jizvami po odbíjení | 3 |
| vybroušení do hladka | 4 |
| vybroušení do hladka s jizvami po odbíjení | 5 |
| leštění | 6 |
| leštění s jizvami po odbíjení | 7 |
| bez úprav, nezávětralý povrch suroviny | 8 |
| bez úprav, závětralý povrch suroviny | 9 |
| Sloupec 102 (stupeň dokončení primárního provrtu) | kódové číslo |
| vrtání uchyceno povrchně | 1 |
| vrtání do hloubky těla artefaktu | 2 |
| vrtání téměř dokončeno | 3 |
| vrtání zcela dokončeno | 4 |
| Sloupec 103 (stupeň dokončení sekundárního provrtu) | kódové číslo |
| vrtání uchyceno povrchně | 1 |
| vrtání do hloubky těla artefaktu | 2 |
| vrtání téměř dokončeno | 3 |
| vrtání zcela dokončeno | 4 |
| Sloupec 104 (tvar okrajů funkčního provrtu) | kódové číslo |
| oba okraje ostré | 1 |
| okraj většího průměru ostrý, okraj menšího průměru zaoblený (odrcený) | 2 |
| okraj většího průměru ostrý, okraj menšího průměru zaoblený (odrcený) se sníženým okolím | 3 |
| tvar okrajů vývrtku | kódové číslo |
| okraj většího průměru límcovitě ostrý, okraj menšího průměru výrazný až oblý | 1 |
| okraje obou průměrů výrazné | 2 |
| na základně většího průměru dochována část vyštípnuté plochy | 3 |
| Sloupec 105 (stopy po vrtání) | kódové číslo |
| výrazné paralelní rýhy v provrtu (na těle vývrtku) | 1 |
| nevýrazné lokální rýhy v provrtu (na těle vývrtku) | 2 |
| paralelní rýhy jen při větším průměru v provrtu | 3 |
| paralelní rýhy jen při menším průměru v provrtu | 4 |
| Sloupec 106 (směr a druh vrtání) | kódové číslo |
| vrtáno z plochy hřbetu dutým vrtákem | 1 |
| vrtáno z plochy podstavy dutým vrtákem | 2 |
| vrtáno plným vrtákem | 3 |
| vrtáno z plochy hřbetu plným vrtákem | 4 |
| vrtáno z plochy podstavy plným vrtákem | 5 |
| Sloupec 107 (stopy po řezání) | kódové číslo |
| dno řezu v podélném profilu konvexní | 1 |
| dno řezu v podélném profilu přímé | 2 |
| na ploše řezu paralelní rýžky | 3 |
| dno řezu v podélném profilu konvexní, na ploše řezu paralelní rýžky | 4 |
| dno řezu v podélném profilu přímé, na ploše řezu paralelní rýžky | 5 |
| Sloupec 108 (tvar řezu v příčném profilu) | kódové číslo |
| dno řezu oblé (ve tvaru „U“) | 1 |
| dno řezu klínovité (ve tvaru „V“) | 2 |
| Sloupec 109—11 (délka řezu) | kódové číslo |
| 9 mm | 009 |

| | |
|---|--------------|
| 99 mm | 099 |
| 111 mm | 111 |
| Sloupec 112—113 (hloubka řezu) | kódové číslo |
| 2 mm | 02 |
| 22 mm | 22 |
| Sloupec 114 (způsob uklonění ostří) | kódové číslo |
| předsunuta špice, pata ukloněna (kladná hodnota úhlu) | 1 |
| předsunuta pata, špice ukloněna (záporná hodnota úhlu) | 2 |
| Sloupec 115 (uklonění osy funkčního provrtu) | kódové číslo |
| menším průměrem osa ukloněna k břítu (kladná hodnota úhlu) | 1 |
| menším průměrem osa ukloněna k týlu (záporná hodnota úhlu) | 2 |
| Sloupec 116 (zachování hrany ostří) | kódové číslo |
| ostrá, nepoškozená | 1 |
| lehce oble otupená | 2 |
| jemně odrcená | 3 |
| recentně poškozená | 4 |
| deformovaná výlomy | 5 |
| Sloupec 117 (pracovní stopy na ostří) | kódové číslo |
| sekerovité na dorsální i bazální straně břítu | 1 |
| sekerovité pouze na dorsální straně břítu | 2 |
| sekerovité pouze na bazální straně břítu | 3 |
| teslovité na dorsální i bazální straně břítu | 4 |
| teslovité pouze na dorsální straně břítu | 5 |
| teslovité pouze na bazální straně břítu | 6 |
| Sloupec 118 (jiné pracovní stopy) | kódové číslo |
| otlučena plocha týlu | 1 |
| otlučen jeden z konců dvojramenného artefaktu | 2 |
| otlučeny oba konce dvojramenného artefaktu | 3 |
| otlučen obvod artefaktu | 4 |
| Sloupec 119 (stopy po upevnění) | kódové číslo |
| odlišné zbarvení celé původně upevněné části | 1 |
| odlišné zbarvení celé původně upevněné části zakončené výraznějším tmavým proužkem | 2 |
| odlišné zbarvení celé původně upevněné části zakončené mělce vyhlazeným žlábkem | 3 |
| odlišné zbarvení celé původně upevněné části zakončené výraznějším tmavým proužkem a mělce vyhlazeným žlábkem | 4 |
| žlábek nebo rýžka pro upevnění | 5 |
| konkávně vyretušovaný bok | 6 |
| konkávně vyretušované boky | 7 |
| Sloupec 120 (indicie sekundární funkce) | kódové číslo |
| hrana ostří sbroušena do široké fasety | 1 |
| hrubě přebroušena lomová plocha | 2 |
| hrana ostří sbroušena do široké fasety se stopami barviva | 3 |
| hrubě přebroušena lomová plocha se stopami barviva | 4 |
| hrana ostří sbroušena do široké fasety, hrubě přebroušena lomová plocha | 5 |
| hrana ostří sbroušena do široké fasety, hrubě přebroušena lomová plocha a stopy barviva | 6 |
| sekundární provrt, lomová plocha s primárním provrtem bez úprav | 7 |
| sekundární provrt, lomová plocha s primárním provrtem obroušena | 8 |
| aplikace provrtu na původně nevrtaný artefakt | 9 |
| Sloupec 121 (barva horniny) | kódové číslo |
| šedá | 1 |

| | |
|---|---|
| šedá s tmavými minerálními součástkami | 2 |
| šedozelená | 3 |
| šedozelená s tmavými minerálními součástkami | 4 |
| tmavozelená — tmavošedá | 5 |
| tmavozelená — tmavošedá se světlými minerálními součástkami | 6 |
| černá | 7 |
| černá se světlými minerálními součástkami | 8 |
| skvrnitá (kombinace nejméně tří barevných odstínů) | 9 |

| | |
|--|--------------|
| Sloupec 122—123 (textura podle rozmístění v prostoru) | kódové číslo |
| všesměrná | 10 |
| centrická | 20 |
| brekciovitá | 30 |
| paralelní | 40 |
| lineárně | 41 |
| plošně | 42 |
| lineárně-plošně | 43 |
| páskovaná (laminární) | 44 |
| proudovitá (fluidální) | 45 |

| | |
|--|--------------|
| Sloupec 124 (textura podle vyplnění prostoru) | kódové číslo |
| kompaktní | 1 |
| pórovitá | 2 |

| | |
|---|--------------|
| Sloupec 125 (orientace foliačních ploch) | kódové číslo |
| rovnoběžně s rovinou podstavy | 1 |
| kolmo na rovinu podstavy | 2 |
| šikmo na rovinu podstavy | 3 |

| | |
|----------------------------------|--------------|
| Sloupec 126—127 (hornina) | kódové číslo |
| vyvřelá hornina | 10 |
| andezit | 11 |
| bazalt | 12 |
| diabas | 13 |
| diorit | 14 |
| gabro | 15 |
| ryolit | 16 |
| spilit | 17 |
| žula — granodiorit | 18 |
| usazená hornina | 20 |
| břidlice pelitická | 21 |
| droba | 22 |
| opuka | 23 |
| pískovec | 24 |
| vápenec | 25 |
| metamorfovaná hornina | 30 |
| amfibolit | 31 |
| břidlice zelené | 32 |
| eklogit | 33 |
| erlán | 34 |
| fylit | 35 |
| jadeitit | 36 |
| rula | 37 |
| serpentinit | 38 |
| vápenec krystalický | 39 |

KOMENTÁŘ KE SLOUPCŮM

Numerický kód neolitické broušené industrie (BI) je de facto volnou aplikací kódu MMK⁵ na jednu třídu kamenných artefaktů. Skládá se ze 127 sloupců, které jsou rozděleny do šesti částí (A—F). Obecná část (A) je z kódu MMK převzata téměř beze změny. Pouze sloupec 25 je upraven tak, aby vyjadřoval kulturní příslušnost artefaktů v rámci neolitu Československa; při periodizaci slovenského neolitu byly použity termíny nového návrhu jednotné chronologie.⁶

Část typologická (B) a část metrická (C) mají již oproti kódu MMK pozměněný počet sloupců i jejich význam. Původní část fyzikálně-technologická byla rozdělena na část technologickou (D) a petrografickou (F). Výzdožnou část zcela nahradila část funkční (E). Pomocná část (G) si zachovává stejný význam i obsah. Také negativní nebo neurčité hodnoty jsou označovány stejným způsobem až na chybějící kombinaci (00), která v tomto případě nabývá významu samostatné metrické veličiny.

Část typologická (B) vyjadřuje adekvátně s kódem MMK typ a variantu jedince, jeho dochovalost a morfologii. Aby morfologická charakteristika byla co nejpřesnější, je každý artefakt popisován ve třech rovinách: v nárysu, v příčném profilu se zachycením průběhu hrany ostří a v bokorysu. Stupeň dochovalosti jedince (sloupec 26—28) je sledován pomocí jednotlivých lomových ploch, které jsou definovány v rovinách trojrozměrného prostoru, pracovní označených jako xy, xa a ay (obr. 14). S rostoucím počtem lomových ploch ovšem přesnost popisu stupně dochovalosti klesá. Šikmé lomové plochy jsou považovány za kombinaci lomů ve dvou rovinách. Zanedbatelně poškozený jedinec je takový artefakt, u něhož lze ještě změřit všechny původní základní rozměry (délku, šířku, výšku).

Protože kód byl sestaven pro třídu BI, vyjadřují sloupce 29—30 pouze typ a variantu (obr. 1). Nebylo by účelné na tomto místě rozvádět a zdůvodňovat aplikovanou typologii neolitické BI. Je v podstatě kompilací dosud vytvořených typologických systémů nebo dílčích klasifikací.⁷ Lze vystačit s konstatováním, že základní typy BI (kopytovitý klín, sekerka,

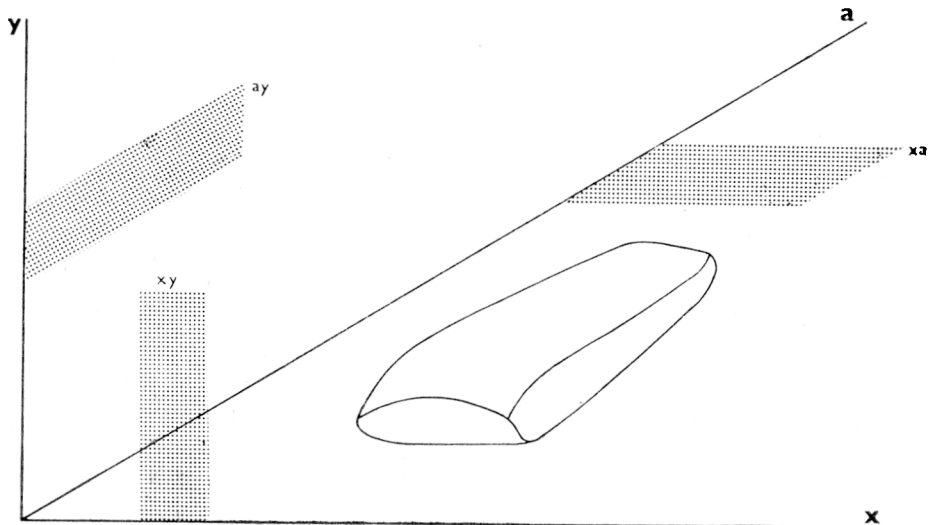
4 Sloupce 1—24 viz V. Podborský *et al.*, op. cit., 51, 59—66.

5 V. Podborský *et al.*, op. cit.

6 J. Pavúk—J. Šiška, Neolit a neolit, in: Návrh chronologie praveku a včasnej doby dejinnej na Slovensku, SIA XXVIII, 1980, 137—158.

7 K. Žebera, Archeologický výzkum Posázaví. Neolitické a středověké vápencové lomy na „Bílém kameni“ u Sázavy, PA XXXXI, 1936—1938 (1939), 51—58; B. Novotný, Jordanovská skupina a jihovýchodní vlivy v českém neolitu, OP XIV, 1950, 206—208, 233—235; *týž*, Lengyelský kostrový hrob ze Sily u Nitry, AR V, 1953, 145 až 146; S. Vencl, Kamenné nástroje prvňích zemědělců ve střední Evropě, SbNM XIV, 1960, 1—91; *týž*, Hromadný nález kamenných nástrojů z Jeřic, o. Jičín, AR XIV, 1962, 456—457; *týž*, Hromadné nálezy neolitické broušené industrie z Čech, PA LXVI, 1975, 52—60; J. Lichardus, Kamenné nástroje na Slovensku a ich hlavné typy, AR XII, 1960, 842—859; M. Zápotocký, Streitaxte und Streitaxtkulturen, PA LVII, 1966, 178—186; K. H. Brandt, Studien über steinerne Äxte und Beile der jüngeren Steinzeit und der Stein-Kupferzeit Nordwestdeutschlands, Hildesheim 1967; V. Moucha, Příspěvek k poznání eneolitických pracovních nástrojů, AR XIX, 1967, 724 až 732; J. Štelcl—J. Malina, Základy petroarcheologie, Brno 1975, 124—125; M. Salas, op. cit., 199—216.

sekeromlat, motyka, mlat) mají již definitivní platnost, zatímco některé typologické varianty (např. u sekerek, sekeromlatů, motyk) se mohou jevit jako sporné a bez dostatečných podkladů pro vyčlenění. Bude proto žádoucí po získání dostatečně reprezentativního souboru dat podrobit tyto varianty revizi.



Obr. 14. Broušený artefakt v trojrozměrném prostoru, jehož roviny jsou označeny jako xy , xa , ay .

Aby se předešlo případné sporné klasifikaci mezi prvními variantami kopytovitých klínů, bylo nutno zde stanovit exaktní typologické kritérium. Tím se stala relativní výška artefaktu,⁸ rozdělená do třech intervalů ($-80,0$; $80,1-115,0$; $115,1+$), podle nichž jsou rozlišovány nízké, středně vysoké a vysoké kopytovité klíny. Podobně musel být diferencován nízký kopytovitý klín a plochá kopytovitá sekerka. Obecně platí, že pro plochou kopytovitou sekerku je typická menší relativní výška a větší relativní šířka, zatímco u nízkého kopytovitého klínu je tomu naopak. Vyskytnou se však i sporné hodnoty, nebo je v extrémních případech poměr dokonce obrácen. U takových artefaktů je proto nutno přihlídnout i k úhlu sbíhavosti boků, které se u nízkých kopytovitých klínů pohybuje kolem nuly, kdežto u plochých kopytovitých sekerek roste úměrně jejich trapezovitému nárysu.⁹

Vlastní morfologie artefaktu je zachycena ve sloupcích 31–53. Jednotnou terminologií pro základní deskripci tvaru vypracoval již S. Vencl,¹⁰

⁸ T. Velímský, Neolitická broušená industrie z Bylan, rkp. diplomové práce, Brno 1969, 26; J. Stelcl—J. Malina, op. cit., 121.

⁹ T. Velímský, op. cit., 27; J. Stelcl—J. Malina, op. cit., 124.

¹⁰ S. Vencl, SbNM XIV, 1960, 3–4; *týž*, Základní tvarosloví neolitické kamenné industrie I, ZČSSA VI, 1964, 17–18.


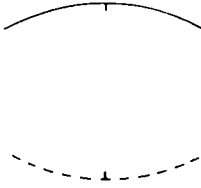
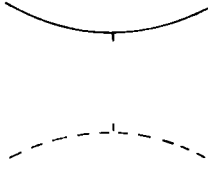

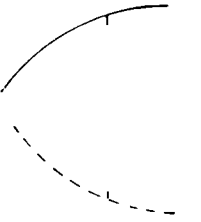
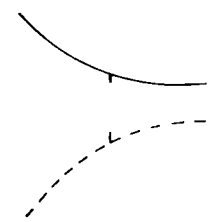
| PROFIL SKLON | PŘÍMÝ | KONVEXNÍ | KONKÁVNÍ |
|-----------------|-------|----------|----------|
| PARALELNÍ | | | |
| KONVERGENTNÍ | | | |
| DIVERGENTNÍ | | | |

Obr. 15. Princip deskripce morfologických prvků v korelaci.

a proto jí kód také plně respektuje. Bylo pouze třeba zvolit takovou deskripční soustavu, která by při maximální jednoduchosti co nejpřesněji vystihovala všechny možné morfologické varianty jednotlivých částí artefaktu. Stěžejní snahou bylo vyjádřit pomocí této deskripční soustavy profil (tvar) a sklon každé samostatně sledované partie vůči podélné nebo příčné ose artefaktu, a to jak pro morfologické znaky sledované ve vzájemné relaci (obr. 15),¹¹ tak pro jeden morfologický znak (obr. 16). Touto formou deskripce jsou pak vytvořeny i takové morfologické varianty, které zatím v materiálu nebyly prokázány.

Hranici mezi tvarem přímým a konvexním (konkávním) lze stanovit např. jako podíl délky sečny oblouku a délky přímky, která je vedena částí křivky tak, aby s ní byla totožná. Pokud bude indexová hodnota menší než 2,5 je možno tvar hodnotit jako přímý.

¹¹ Cf. J. Malina, *Metody deskripce, klasifikace a statistiky v petroarcheologii*, Brno 1976, 120, obr. 56.

| PROFIL SKLON | PŘÍMÝ | KONVEXNÍ | KONKAVNÍ |
|-----------------|---|---|--|
| KOLMÝ |  |  |  |
| DIAGONÁLNÍ |  |  |  |

Obr. 16. Princip deskripce individuálních morfologických prvků.

Celkový tvar artefaktu v nárysu (sloupec 31) je vyjadřován pouze aproximativně pomocí jednoduchých geometrických obrazců; skutečný tvar nárysu nemá totiž téměř nikdy geometrickou pravidelnost, a tak přesná podoba artefaktu vyplývá až z dalších sloupců. Celkový tvar nárysu stejně jako dílčí morfologické znaky jsou kódovány i u necelých artefaktů (např. je zakódován tvar boků v nárysu, i když se nedochovala týlová partie).

Při deskripci některých morfologických prvků (asymetrie boků v nárysu, hřbetu a podstavy v bokorysu, diagonální tvar týlu v nárysu i bokorysu, tvar boků obdélníkovitého, bikonvexního a čtyřúhelníkovitého příčného profilu, asymetrická rozhraní) není z kódu patrné, jak je příslušná partie ukloněna (doprava — doleva, zkosně — podseknuté) nebo jak je konkrétně asymetrická (např. které rozhraní je oblé a které výrazné). U některých typologických variant (např. 23), event. u jedinců může být totiž jejich správná orientace sporná, takže jindy jednoznačný a odůvodněný způsob popisu se stává konvenčně subjektivní záležitostí, nehledě k tomu, že při diferencování značkových detailů by se kód neúměrně rozrostl. Jedinou výjimku tvoří deskripce rozhraní břitu, kdy případné rozeznání špice a paty může mít funkční význam.

Tvar rozhraní vyjadřuje odsazení týlové partie (v nárysu i bokorysu), břítové partie (v nárysu) a boků (v příčném profilu, jinak hrany na těle artefaktu vůbec). Tato rozhraní jsou klasifikována jako plynulá (absolutně nedefinovatelná), oblá (aproximativně definovatelná) a výrazná (přesně definovatelná, ostrá).

Příčný profil (sloupec 39—41) je sledován v místě největší výšky artefaktu, kde bývá nejvýraznější a kde se často nachází i největší šířka; u vrтанých artefaktů je směrodatný příčný řez v místě provrtu nebo těsně před ním. Tvar příčného profilu vychází při deskripci především z relace podstavy a hřbetu a jeho symetrii (asymetrii) pak určují boky. Při dekódování příčného profilu je nezbytná konfrontace s metrickou částí, aby byl zřejmý poměr šířek a výšky, takže obdélníkovitý příčný profil může pak být také kvadratický.

Přes relativně jednoduchou morfológickou variabilitu neolitické BI nebylo možno vytvořit systém deskripce do té míry unifikovaný, aby vystihoval všechny znaky jak v nárysu, tak v bokorysu jednotně bez ohledu na typ a variantu. Proto je u sekerky varianty 24 a sekeromlatů variant 31—35 při kódování jejich břitové partie zaměněn význam příslušných sloupců tak, že sloupec 36—38 udává tvar břitu v bokorysu a sloupec 52 v nárysu. U artefaktů s nedefinovatelnou břitovou partií (varianta 51, 52) je ve smyslu sloupců 36—38 nárysně kódován libovolný konec, jehož tvar v bokorysu udává pak sloupec 52, který je pro tento účel obsahově rozdělen.

U celkem ojedinělých dvojbřitých artefaktů lze nárysně tvar jednoho z břitů kódovat ve sloupcích 34—35, a to dle obsahu sloupců 36—38. Tvar této břitové partie v bokorysu je pak tedy adekvátně zachycen ve sloupcích 50—51 podle obsahu sloupce 52. Aby byl zachován význam počtu sloupců a aby použití jednomístného kódového čísla ve sloupcích 50—51 nevyvolalo dojem chybného zápisu, je nutno záznam provést s předřazenou nulou.

Ve sloupci 53 je vyjádřen tvar provrtu, a to se zřetelem na jeho případnou renovaci po přelomení artefaktu v původním (primárním) provrtu.

V metrické části kódu (C) jsou sledovány takové znaky artefaktu, které lze exaktně, kvalitativně evidovat. Všechny parametry jsou zapisovány v té hodnotě, ve které byly naměřeny a ve standardních jednotkách (milimetry, stupně, gramy). Základními veličinami udávanými u většiny broušených artefaktů jsou délka, šířka a výška, které představují vždy maximální rozpětí v dané rovině. Tyto rozměry jsou podkladem pro výpočet indexů relativních hodnot: relativní šířky (rš) a relativní výšky (rv).¹² Podobně relace šířky oblouku ostří (sloupec 89—90) a výšky oblouku ostří (sloupec 91—92) vede ke stanovení indexu ostří.¹³ Průměry primárních a případných sekundárních provrtů válcovitého tvaru nebo průměry provrtů nedokončených, event. jen fragmentárně zachovaných jsou zapisovány ve sloupcích 62—63, 64—65. Pro průměry kónických nebo bikónických nepoškozených (funkčních) provrtů jsou vymezeny sloupce 66—67, 68—69, 70—71, 72—73. Sloupců 66—67, 68—69 lze využít i pro záznam průměrů základů vývrtek.

Způsob měření a význam jednotlivých úhlů na broušených artefaktech byl již dostatečně rozveden i v naší literatuře.¹⁴ Za problematický po-

¹² T. Velímský, op. cit., 26; J. Stelcl—J. Malina, op. cit., 120—121.

¹³ K. Schietzel, Müddersheim. Ein Ansiedlung der jüngeren Bandkeramik im Rheinland, Köln 1965, 34.

Filosofická fakulta

University J. E. Purkyně v Brně

KATEDRA ETNOLÓGIE A KULTURY

Knihovna pro etnografické dějiny

važují pouze úhel podbroušení ostří a vlastní úhel ostří. Úhel podbroušení ostří, vymezený poprvé B. Tykvou¹⁵ (nikoliv A. Riethem¹⁶), má být u sekerek (s výjimkou varianty 24) a kopytovitých klínů bokorysně sevřen rovinou podstavy a bazální ploškou pod hranou ostří. V neolitickém materiálu se však žádné výrazné příčně rovné, fasetovité podbroušení hrany ostří nevyskytuje. Dokonce bylo experimentálně prokázáno, že tato bazální faseta vznikne jen při použití kopytovitého klínu jako rádlá, tedy při orbě.¹⁷ Z těchto důvodů úhel podbroušení ostří nebyl do kódu vůbec zařazen. Způsob měření vlastního úhlu ostří stanovil K. Schietzel. Svírají jej tečny vedené bifaciálně (u variant 24, 31—35 bilaterálně) na břitovou partii; podobně je měřen i úhel zdvihu ostří, sevřený rovinou podstavy a tečnou bazální plochy břitu.¹⁸ Relace obou úhlů pak udává, je-li ostří bokorysně více ukloněno k podstavě či ke hřbetu nástroje.¹⁹ Měření těchto úhlů pomocí přímek vedených od hrany ostří²⁰ vede k odlišným výsledkům, navíc mnohem více zatížených subjektivní chybou, neboť přímky jsou dány vlastně jenom jedním bodem — hranou ostří.

Všechny úhly nemohly být měřeny u všech typů a variant BI ve stejných rovinách, ale podle způsobu kresebné dokumentace buď v bokorysu, nebo nárysu. U kopytovitých klínů a sekerek s výjimkou sekerky se svislým ostřím je v bokorysu měřen úhel masivnosti ostří, úhel zdvihu ostří a vlastní úhel ostří, ostatní úhly jsou sledovány v nárysu. U variant 24, 31—35 je tento poměr obrácen a úhel sbíhavosti boků na nich není vůbec sledován, zatímco u sekerek (varianty 21—23) a kopytovitých klínů může nabývat kladné, nebo záporné hodnoty podle toho, zda je nárysně užší týlová, nebo břitová partie;²¹ v kódu je jeho hodnota zřejmá z tvaru boků v nárysu. Rovněž úhel úklonu ostří, sledovaný v nárysu kopytovitých klínů a sekerek variant 21—23 (tedy v bokorysu variant 24, 31—35), může mít kladnou i zápornou hodnotu v závislosti na předsunutí špice nebo paty ostří,²² což vyplývá ze sloupce 114 ve funkční části kódu.

Úhel úklonu osy provrtu je měřen ve smyslu jeho vymezení J. Štelcem a J. Malinou,²³ a to jen na funkčních, nepoškozených provrtech. I tento úhel může nabývat kladných nebo záporných hodnot podle toho, zda je menší průměr provrtu posunut k břitu či k týlu. Stejně jako hod-

14 B. Tykva, Broušené nástroje (nevrtané) mladší a pozdní doby kamenné, rkp. diplomové práce, Praha 1966, 11—14; T. Velímský, op. cit., 26—27; J. Štelcl—J. Malina, op. cit., 121—122, obr. 51.

15 B. Tykva, op. cit., 11.

16 A. Rieth, Geschliffene bandkeramische Steingeräte zur Holzbearbeitung, PZ XXXIV—XXXV, 1949—1950, 230—232; cf. T. Velímský, op. cit., 26; J. Štelcl—J. Malina, op. cit., 121.

17 E. Hennig, Untersuchungen über den Verwendungszweck urgeschichtlicher Schuhleistenkeile, Alt-Thüringen V, 1961, 210; Týž, Bericht über die praktischen Versuche zur funktionellen Deutung der neolithischen Steingeräte, AR XVII, 1965, 685, obr. 192.

18 K. Schietzel, op. cit., 30.

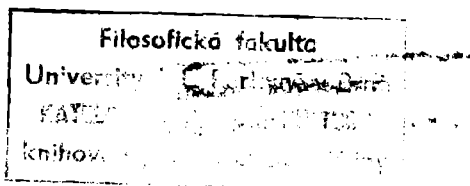
19 T. Velímský, op. cit., 26—27.

20 J. Štelcl—J. Malina, l. c.

21 T. Velímský, op. cit., 27.

22 Týž, op. cit., 133.

23 J. Štelcl—J. Malina, op. cit., 122.



nota úhlu úklonu ostří má i úklon osy provrtu funkční význam,²⁴ a proto je jeho hodnota sledována v samostatném sloupci (115) funkční části. Poloha provrtu (sloupec 86—88)²⁵ je zjišťována u každého, tedy i sekundárního provrtu.

Sloupce technologické části (D) vyjadřují všechny běžně se vyskytující stopy výroby, které mohou mít při rekonstrukci technologie BÍ nebo při její verifikaci nějaký význam. Nejsou tu uvedeny jen některé sporadicky zjišťované výrobní indicie (např. dělení pomocí vytlučeného důlku)²⁶ nebo zde nejsou zahrnuty takové výrobní postupy, jejichž stopa nebývá jednoznačná (např. štipání).

Pro stav výroby jedince (sloupec 97—98) je rozhodujícím kritériem funkční (pracovní) potence artefaktu bez ohledu na to, zda funkce je primární nebo sekundární. Úprava povrchu artefaktu (sloupec 99—100) vyjadřuje, do jaké míry a v jaké intenzitě se na opracování podílelo odbíjení, broušení, či dokonce leštění. Pro případný zápis úpravy základěn vývrtku byl obsah sloupců 99—100 bifurkován. Týlová plocha bývá na artefaktech zpravidla vypracována méně kvalitně než ostatní partie, a proto je pro úpravu plochy týlu ponechán samostatný sloupec (101). Je ovšem třeba diferencovat původní úpravu týlu od úprav souvisejících se sekundární funkcí nástroje, které postihuje až funkční část kódu (sloupec 120).

Stupeň dokončení primárního i sekundárního provrtu (sloupec 102, 103) je stanoven v intervalech pomocí hloubky vrtu a mocnosti nedovrtané horniny: 1. hloubka vrtu nejvíce 2 mm (povrchně uchycené vrtání), 2. hloubka vrtu nejméně 3 mm — mocnost nedovrtané horniny nejméně 3 mm (vrtání do hloubky těla artefaktu), 3. mocnost nedovrtané horniny nejvíce 2 mm (téměř dokončené vrtání). Tyto diference mají význam při klasifikaci polotovarů nebo u artefaktů, na nichž došlo ke špatnému nasazení původního provrtu. Tvar okrajů funkčního provrtu (sloupec 104) je podobně jako sám tvar celého provrtu důležitou indicií směru vrtání (sloupec 106). Rovněž i tvar okrajů vývrtku může být pro rekonstrukci vrtání důležitý, a proto je sledován v bifurkovaném sloupci 104. Stopy po vrtání (sloupec 105) se nacházejí jak v provrtu, tak na těle vývrtku. Stupeň dochování těchto stop v provrtu nepřímo signifikuje míru funkčního používání artefaktu. Morfometrická deskripce stop po řezání (sloupec 107, 108, 109—111, 112—113) vychází z předpokladu, že na artefaktu se nachází pouze jedna řezná plocha. Pokud se na jedinci vyskytne více stop po řezání, je pro zápis prioritní plocha řezu s větším obsahem.

Funkční část kódu (E) zachycuje indicie, které zanechalo na artefaktu jeho používání. Úklonění ostří (sloupec 114) je sledováno v nárysu (kopytovitý klín, sekerka varianty 21—23, event. i motykovitý sekeromlat a motyka) nebo bokorysu (sekerka varianty 24, sekeromlat varianty 31—35). Rozhraní ostří je označováno jako špice a pata v závislosti na upevnění sekerovitého nástroje v rukojeti, nejde tedy o neopodstatněnou konvenci.²⁷ Jediným spolehlivým kritériem difference špice a paty jsou

24 S. Vencel, SbNM XIV, 1960, 18; E. Hennig, Alt-Thüringen V, 1961, 215.

25 J. Štelcl—J. Malina, l. c.

26 S. Vencel, PA LXVI, 1975, 62—63; M. Salaš, op. cit., 144.

27 T. Velímský, op. cit., 27, 133.

sekerovitě pracovní stopy, které svírají se špicí vždy ostrý úhel. Kvantitativně je uklonění ostří vyjádřeno úhlem úklonu ostří (sloupec 80—81).

Zachování hrany ostří (sloupec 116) nemá pro bližší interpretaci funkce artefaktu sice žádný konkrétní význam, ostří samo o sobě je však většinou dokladem pracovního smyslu artefaktu²⁸ a případné makrodeformace nebo otupení svědčí o jeho užívání. Pracovní stopy na ostří (sloupec 117) jsou nejhodnotnějšími indiciemi funkce. Teoreticky by měly probíhat sekerovitě pracovní stopy diagonálně po obou stranách ostří a teslovitě pracovní stopy kolmo k ostří na ploše přiléhající k opracovávanému materiálu.²⁹ Mnohdy se však sekerovitě stopy dochovávají jen na jedné straně břitu, teslovité stopy se vyskytnou zase na ostří i bifaciálně,³⁰ a proto jsou v kódu uvedeny všechny možné kombinace výskytu těchto pracovních stop. Protože broušené artefakty byly často používány (nežrídka sekundárně) i jako mlaty, otloukače či roztěrače, jsou indicie těchto typů funkčních aktivit obsaženy ve sloupci 118.

Stopy po upevnění artefaktu (sloupec 119) s funkcí nepřímo souvisí, většinou však bez možnosti rekonstrukce upevnění k explikaci funkce nepřispívají. Za indicie sekundární funkce (sloupec 120) jsou považovány jakékoliv úpravy zjevně poškozených nástrojů, a to i tehdy, jestliže znamenaly renovaci funkce původní.

Petrografická část (F) byla zpracována tak, aby zachytila alespoň znaky běžně sledované v archeologické praxi, tedy znaky, které jsou patrné již makroskopicky.³¹ Barva horniny (sloupec 121) je hodnocena podle odstínu čerstvých lomů. Zpravidla však tuto možnost recentně nepoškozené artefakty neposkytují, takže nejčastěji bude barva horniny určována podle původních lomových ploch nebo nevybroušených partií jedince. Stavba horniny je tvořena texturou a strukturou.³² Jelikož struktura je klasifikovatelná většinou jen na základě výbrusů, byla do deskripčního systému zahrnuta jen textura. Tu lze dělit podle prostorového uspořádání minerálů (sloupec 122—123) nebo podle vyplnění prostoru, který hornina zaujímá (sloupec 124).³³ Textury uvedené v těchto sloupcích jsou samozřejmě jen selektivní, vybrané s ohledem na surovinové potenciální horniny a na petrograficko-klasifikační schopnosti laiků.

Orientace foliačních ploch u paralelní textury (sloupec 125) je důležitou stavební vlastností horniny, mezi níž a morfologií broušeného artefaktu byla prokázána úzká souvislost.³⁴ K rovině podstavy jsou tyto foliační plochy dle typu a varianty BI orientovány nejčastěji buď paralelně, nebo kolmo, vždy s možnou odchylkou $\pm 10^\circ$. Zřídka se vyskytne případ, že plochy svírají s rovinou podstavy libovolný úhel v rozpětí 10° — 80° . Pro označení druhu horniny je zapotřebí dvou sloupců (126—127), a to nejen

28 S. Vencl, op. cit., 3—4.

29 S. A. Semenov, Pervobytnaja tehnika, MIA 54, 1957, 158—159.

30 Cf. např. J. Pavúk, Neolithisches Gräberfeld in Nitra, SIA XX, 1972, 53.

31 Za laskavou a nezištnou spolupráci při sestavování této části kódu srdečně děkují RNDr. A. Přichystalovi z ÚÚG v Brně.

32 J. Štelcl—J. Malina, op. cit., 17.

33 A. Dudek—F. Fediuk—M. Palivcová, Petrografické tabulky, Praha 1962, 169, 196—197, 221.

34 T. Velímský, op. cit., 69 sq.

pro větší počet kódovaných znaků, ale především pro vystižení základního rozdělení hornin na vyvřelé, usazené a metamorfované. Přesto není reálně zachytit tímto způsobem celou dosud známou šíři surovinového spektra BI v neolitu. Prezentované druhy hornin jsou proto jen výběrem, ve kterém byly před horninami používanými v neolitu pouze výjimečně (např. nefrit³⁵) nebo vysloveně regionálně (např. poznaňský jíl³⁶) preferovány některé eneolitické suroviny (např. spilit,³⁷ erlán, droba³⁸), u kterých je možno očekávat jejich využívání i v neolitu.

ПРЕДЛОЖЕНИЕ ЧИСЛОВОЙ ДЕСКРИПЦИИ НЕОЛИТИЧЕСКОЙ КАМЕННОЙ ШЛИФОВАННОЙ ИНДУСТРИИ

По изучаемым аспектам дескрипции числовой код состоит из шести частей (А—Ф) и ста двадцати семи колонок. Общая часть (А) почти без изменений взята из кода моравской расписной керамики, только колонка 25 содержит культурную принадлежность артефактов в рамках всего неолита.

Типологическая часть (Б) выражает тип и вариант отдельного предмета, его сохранение и морфологию. Степень сохранения артефактов (колонки 26—28) изучается при помощи площадок излома означаемых по плоскостям трехмерного пространства (рис. 16). Если на артефакте можно измерить все подлинные основные размеры, речь идет о не очень поврежденном отдельном предмете. Примененные типы и варианты шлифованной индустрии (колонки 29—30, рис. 1) составлены из созданных до сих пор типологических систем и классификаций. Основные типы (копытообразный клин, топорик, топоромолот, мотыга, молот) имеют уже окончательное действие, между тем как некоторые варианты могут быть еще проверены. Низкие, средние и высокие копытообразные клинья различаются по относительной высоте, разделенной в три диапазона (—80,0, 80,1—115,0, 115,1 +). У низких копытообразных клиньев и плоских копытообразных топориков важным различительным критерием является также и угол схода боковых сторон.

Морфология отдельного предмета содержится в колонках 31—53. Форменные варианты отдельных частей артефактов созданы посредством дескриптивной системы, выражающей профиль (форму) и скос и каждой изучаемой отдельной частью по отношению к продольной или поперечной оси артефакта как для морфологических знаков, находящихся во взаимной реляции (рис. 14), так и для одного морфологического знака (рис. 15).

Общую форму артефакта в эскизе приводит колонка 31 при помощи простых геометрических фигур на плоскости, но точная форма предмета вытекает только из следующих колонок. При дескрипции определенных морфологических элементов не дифференцированы однозначно скосы и асимметрия, поскольку у некоторых вариантов, или же отдельных предметов может быть спорной их правильная ориентация. Поперечный профиль (колонки 39—41, рис. 5—9) изучается в месте самой большой высоты отдельного предмета, у сверленных артефактов в месте просверления или как раз перед ним. Форма поперечного профиля исходит из реляции подставки и спины, ее симметрии (асимметрии) определяют боковые стороны.

При кодировании некоторых морфологических знаков необходимо у некоторых типологических вариантов заменить в колонках боковую проекцию эскизом. Поэтому у топорика вариант 24 и топоромолотов вариантов 31—35 приводят колонки 36—38

35 J. Stelcl—J. Malina, op. cit., 191—192.

36 A. Prinke—J. Skoczylas, Neolityczne surowce kamienne w Polsce środkowo-zachodniej, Warszawa—Poznań 1980, 43—63.

37 J. Fridrich—J. Kovářík, Příspěvek k dobývání a zpracování kamenných surovin v eneolitu, ArchPrag 1, 1980, 39—54.

38 J. Kukla, Die petrographische Bestimmung des geschliffenen Steingeräts, in: M. Buchvaldek—D. Koutecký, Vikletice. Ein schnurkeramisches Gräberfeld, Praha 1970, 235.

(рис. 4) форму лезвия в боковой проекции и колонка 52 (рис. 13) в эскизе. У вариантов 51, 52 в колонках 36–38 в эскизе закодирован любой конец артефакта, форму которого в боковой проекции приводит разделенная по содержанию колонка 52. Эскиз одного из лезвий двухлезвийного артефакта закодирован по содержанию колонок 36–38 в колонках 34–35 (рис 3). Боковая проекция этой части лезвия изображена в колонках 50–51 (рис. 12) по содержанию колодки 52.

В метрической части кода (Ц) изучаются количественно заметные знаки, записываемые измеренными данными. Основные размеры — длина, ширина, высота (колонки 54–56, 57–59, 60–61) всегда представляют максимальный диапазон в данной плоскости. Для диаметров первичных или вторичных цилиндрических просверлений и просверлений незаконченных или фрагментарных выделены колонки 62–63, 64–65. Конические или биконические функциональные просверления записываются в колонках 66–67, 68–69, 70–71, 72–73.

Из измеряемых на артефактах углов не приводится в коде угол подшлифования лезвия, так как его установление оказалось необоснованным; для собственного угла лезвия (колонки 78–79) решающим является способ, введенный К. Шидцем. Данный угол, равным образом как и угол массивности лезвия (колонки 74–75) и угол подъема лезвия (колонки 76–77), изучается у копытообразных клиньев и топориков (за исключением варианта 24) в боковой проекции, остальные углы изучаются в эскизе. У вариантов 24, 31–35 метод измерения приведенных углов является обратным. Угол схода боковых сторон (колонки 82–83) может выступать у вариантов 11–18, 21–23 в положительной (более узкая затылочная часть) и отрицательной (более узкая часть лезвия) величине, что вытекает из формы боковых сторон в эскизе. Положительные или отрицательные величины приобретает также угол скоса лезвия (колонки 80–81) в зависимости от того, продвинута ли спинка или пята (смотри колонку 114), а угол отклонения оси просверления (колонки 84–85) в зависимости от того, продвинута ли ось своим меньшим диаметром к лезвию или к затылку (см. колонку 115).

Технологическая часть (Д) изображает следы производства на артефакте. Для оценки состояния производства от дельного предмета (колонки 97–98) критерием является функциональный аспект. Степень завершения первичного и вторичного просверлений (колонки 102, 103) становится при помощи глубины сверления и мощности недосверленной породы: первая глубина сверления не больше 2 мм, вторая глубина сверления не менее 3 мм, — мощность недосверленной породы не менее 3 мм, вторая мощность недосверленной породы не больше 2 мм. Для возобновления сверления изучается форма кромок функционального просверления или форма кромок сверленного продукта (колонка 104) и направление сверления (колонка 106). Степень сохранения следов после сверления (колонка 105) косвенно фиксирует меру употребления артефакта. Если появятся на отдельном предмете больше следов после резания (колонки 107, 108, 109–111, 112–113), решительной для записи в код является площадка разреза с большим содержанием.

Часть Е включает в себя улики, оставившие на артефакте его функциональное применение. Продвинутое спинки или пята лезвия (колонка 114) можно решить только в корреляции с рабочими следами на лезвии (колонка 117)), так как топоробразные рабочие следы образуют со спинкой всегда острый угол. Для воспроизведения функции артефакта могут иметь значение и другие виды рабочих следов, из которых в колонке 118 приводятся пока только следы после обивания. Следы после крепления (колонка 119) без возможности реконструкции прикрепления, как правило, функциональному укреплению не способствуют.

Петрографическая часть (Ф) содержит знаки, которые можно нормально макроскопически наблюдать. Для цвета породы (колонка 120) решительными являются свежие изломы, или же неотшлифованные части артефакта.

Текстуры пород можно разделять по разным точкам зрения, поэтому в код были включены текстуры, различаемые как по пространственному упорядочению минералов (колонки 121–122), так и по заполнению занимаемого породой пространства (колонка 123). У параллельных текстур между ориентацией фольговых площадок (колонка 124) и морфологией артефакта находится яркая связь. С плоскостью представления эти фольговые площадки чаще всего параллельны, потому что по отношению к ней они перпендикулярны (допустимые отклонения $\pm 10^\circ$).

ENTWURF EINER NUMERISCHEN DESKRIPTION DER NEOLITHISCHEN GESCHLIFFENEN STEININDUSTRIE

Den behandelten Aspekten der Deskription entsprechend, besteht der numerische Code aus 6 Teilen (A—F) und 127 Spalten. Der allgemeine Teil (A) wurde fast ohne Änderungen dem Code der Mährischen bemalten Keramik entnommen, nur die Spalte 25 verzeichnet die Kulturzugehörigkeit der Artefakte innerhalb des Gesamtbereiches der Jungsteinzeit.

Der typologische Teil (B) kennzeichnet den Typus und die Variante des Artefaktes, seine Morphologie und seinen Erhaltungszustand. Dieser ist in den Spalten 26—28 durch die Bruchflächen gekennzeichnet, die nach den Ebenen des dreidimensionalen Raumes angeführt sind (Abb. 14). Insoweit man am Artefakt alle ursprünglichen Grundmasse ablesen kann, so geht es um belenglos beschädigte Exemplare. Applizierte Typen und Varianten der geschliffenen Industrie (Spalten 29—30, Abb. 1) sind nach den bisher ausgearbeiteten typologischen Systemen und Klassifizierungen zusammengestellt. Die Grundtypen (Schuhleistenkeile, Beilchen, Streitäxte, Hacken und Streithämmer) haben bereits Allgemeingeltung, einige Varianten hingegen können noch einer Revision unterzogen werden. Die niedrigen, mittel-hohen und hohen Schuhleistenkeile wurden, ihrer relativen Höhe entsprechend in 3 Intervalle unterteilt ($- 80,0, 80,1 - 115,0, 115,1 +$). Bei den niedrigen Schuhleistenkeilen und den flachen Schuhleistenbeilchen wird noch der Winkel der Seitenkonvergenz als Kriterium der Unterschiedlichkeit in Betracht gezogen.

Die Morphologie jedes einzelnen Exemplares erscheint in den Spalten 31—53. Die Formvarianten der einzelnen Partien der Artefakte werden durch ein Deskriptionssystem transparent gemacht, das bei jedem selbstständig betrachteten Detail das Profil, die Form und die Neigung zur Längs- oder Querachse des Artefaktes angibt und zwar sowohl für die morphologischen Merkmale in ihrer gegenseitigen Relation (Abb. 15), als auch für jedes einzelne morphologische Merkmal im besonderen (Abb. 16).

Die Gesamtform des Artefaktes im Aufriss wird in Spalte 31 mittels einfacher geometrischer Figuren vorgeführt, die exakte Gestalt des jeweiligen Exemplares findet man dann in den weiteren Spalten. Bei der Deskription einiger morphologischer Elemente wurden Neigung und Symetrie nicht eindeutig unterschieden, denn bei einigen Varianten, resp. Einzelexemplaren war deren richtige Orientation fraglich. Das Querprofil (Spalte 39—41, Abb. 5:9) wird an der Stelle der grössten Höhe des Exemplares, bei den gebohrten Artefakten an der Stelle des Bohrloches oder knapp vor ihm vermerkt. Die Form des Querprofils ergibt sich aus der Relation der Basis zur Rückenpartie, seine Symmetrie (Asymmetrie) bestimmen die Flanken.

Beim Codieren einiger morphologischer Merkmale muss man bei mehreren typologischen Varianten die Seiten- und Frontalansichten in den Spalten gegeneinander austauschen. So erscheint beim Beilchen der Variante 24 und bei den Streitäxten 31—35 in der Spalte 36—38 (Abb. 4) die Gestalt der Schneide in der Seitenansicht, in der Spalte 52 (Abb. 13) im Aufriss. Bei den Varianten 51 und 52 ist in den Spalten 36—38 ein beliebiges Endstück des Artefaktes im Aufriss codiert, seine Seitenansicht vermittelt die inhaltlich aufgeteilte Spalte 52. Die Frontalansicht einer der Schneiden eines zweischneidigen Artefaktes ist dem Inhalt der Spalten 36—38 entsprechend in den Spalten 34—35 codiert (Abb. 3), der Seitenriss dieser Schneidenpartie erscheint dann in den Spalten 50—51 (Abb. 12), gemäss dem Inhalt der Spalte 52.

Im metrischen Teil des Codes (C) werden die kvantitativ evidierbaren Merkmale verzeichnet, die mit jenen Werten angeführt werden, welche die Messungen ergaben. Die Grundmasse — Länge, Breite und Höhe (in den Spalten 54—56, 57—59 und 60—61) bedeuten immer die Maximalspanne in der betreffenden Ebene. Die Mittelwerte der primären und sekundären walzenförmigen Bohrungen sowie der unvollendeten oder fragmentären Bohrlöcher erscheinen in den Spalten 62—63 und 64—65. Die konischen oder bikonischen funktionsbedingten Bohrungen sind in den Spalten 66—67, 68—69, 70—71 und 72—73 eingetragen.

Von den Winkelmassen, die an den Artefakten gemessen wurden, ist der Winkel des Schneidenschliffs nicht angeführt, da sich seine Kennzeichnung als irrelevant erwies; für den eigentlichen Schneidenwinkel (Spalte 78—79) ist die Messmethode

richtunggebend, welche K. Schitzel einführte. Dieser Winkel wird ebenso wie der Winkel der Massivität (Spalte 74—75) und der Aufwippung der Schneide (Spalte 76—77) bei den Schuhleistenkeilen und Beilchen (die Variante 24 ausgenommen) von der Seitenansicht abgelesen, alle anderen Winkel werden dem Aufriss entnommen. Bei den Varianten 24 und 31—35 ist der Messvermerk bei den betreffenden Winkeln umgekehrt. Der Schmalseitenwinkel (Spalte 82—83) kann bei den Varianten 11—18 und 21—23 bei einer schmäleren Nackenpartie einen positiven, bei einer schmäleren Schneidenpartie einen negativen Wert aufweisen, was sich aus der Gestalt der Seiten im Aufriss ergibt. Positive oder negative Werte kennzeichnen auch den Neigungswinkel der Schneide (Spalte 80—81), je nachdem, ob die Spitze oder die Basis (siehe Spalte 114) vorgeschoben ist, ebenso wie den Neigungswinkel der Bohrungsschneide (Spalte 84—85) je nachdem, ob die Achsenneigung der Bohrung mit dem kleineren Radius des Bohrloches zur Schneiden — (Spalte 115) oder zur Nackenpartie vorgezogen ist.

Der technologische Teil (D) behandelt die Werkspuren am Artefakt. Für die Auswertung des Herstellungsgrades eines jeden einzelnen Exemplars gilt als Kriterium der funktionelle Aspekt. Der Grad der Vollendung sowohl der primären als auch der sekundären Bohrung (Spalte 102, 103) wird mittels der Tiefe des Bohrloches sowie des Messwertes am verbliebenen, nicht durchbohrten Gesteinsrest bestimmt. Folgende Werte sind massgebend: 1. Die Tiefe der Bohrung beträgt höchstens 2 mm, 2. Die Tiefe des Bohrloches beträgt wenigstens 3 mm — der verbliebene, nicht durchbohrte Gesteinsrest mindestens 3 mm, 3. Der Messwert des verbliebenen, nichtdurchbohrten Gesteinsrestes beträgt höchstens 2 mm. Für die Rekonstruktion des Bohrvorganges wird die Gestalt des funktionellen Bohrlochrandes, die Form des Randes des Bohrpfropfens (Spalte 104) sowie die Richtung der Bohrung (Spalte 106) beachtet. Der Grad der Spurenerhaltung nach vollzogenem Bohrvorgang (Spalte 105) ist auch indirekt signifikant für das Mass der Verwendung des Artefaktes. Werden am Einzelexemplar mehrere Schneidespuren (Spalte 107, 108, 109—111 und 112—113) vorgefunden, dann wird im Code die Prioritätsfläche mit dem grösseren Inhalt verzeichnet.

Der Teil (E) beinhaltet Indizien, die sich auf Spuren beziehen, welche am Artefakt durch seine Verwendung entstanden. Über den Anlauf der Schneidenspitze oder Schneidenbasis (Spalte 114) kann nur in Korrelation mit den Arbeitsspuren an der Schneide geurteilt werden (Spalte 117), denn die Hackspuren bilden mit der Spitze immer einen scharfen Winkel. Für eine funktionelle Interpretation des Artefaktes können auch andere Arten von Arbeitsspuren von Bedeutung sein, von denen in Spalte 118 nur die Spuren durch Abschlagen angeführt werden. Spuren, die auf die Art der Montierung hinweisen, (Spalte 119) geben ohne die Möglichkeit einer Rekonstruktion der Befestigungsart gewöhnlich keine relevante Aussage über die Funktion des Artefaktes.

Der petrographische Teil (F) enthält Angaben, die man üblicherweise makroskopisch ablesen kann. Für die Aussagen über die Farbe des Gesteins (Spalte 121) sind frische Bruchstellen, event. ungeschliffene Partien des Artefaktes ausschlaggebend. Die Textur der Gesteinsarten kann man nach unterschiedlichen Blickpunkten beurteilen, deshalb wurden sie in den Code entweder nach der räumlichen Verteilung der Minerale (Spalte 121—123) oder nach der Raumbfüllung des Gesteins eingetragen (Spalte 124). Bei Paralleltexturen besteht ein deutlicher Zusammenhang zwischen der Orientierung der Foliationsebenen (Spalte 125) und der Morphologie des Artefaktes. Mit der Ebene der Grundlage sind diese Foliationsebenen am häufigsten parallel oder verlaufen senkrecht zu ihnen (bei einer Toleranz der Abweichung von $\pm 10^\circ$).

Übersetzt von Vilém Hank

